

ГОСУДАРСТВЕННЫЙ ГЕОЛОГИЧЕСКИЙ КОМИТЕТ СССР
ГЛАВНОЕ УПРАВЛЕНИЕ ГЕОЛОГИИ И ОХРАНЫ НЕДР
при СОВЕТЕ МИНИСТРОВ РСФСР
ЧЕТВЕРТОЕ ГЕОЛОГИЧЕСКОЕ УПРАВЛЕНИЕ

ГЕОЛОГИЧЕСКАЯ КАРТА СССР

Масштаба 1 : 200 000

Серия Нижне-Амурская

Лист N-54-XXXIII

ОБЪЯСНИТЕЛЬНАЯ ЗАПИСКА

Составители: С. Б. Браина, И. И. Тукков

при участии Л. Н. Самойлова и Я. И. Файнга

Редактор И. И. Тукков

Утверждено Научно-редакционным советом ВСГЕИ

24 ноября 1960 г., протокол № 38



ГОСУДАРСТВЕННОЕ НАУЧНО-ТЕХНИЧЕСКОЕ ИЗДАТЕЛЬСТВО
ЛИТЕРАТУРЫ ПО ГЕОЛОГИИ И ОХРАНЕ НЕДР

МОСКВА 1963

СОДЕРЖАНИЕ

	Стр.
Введение	3
Стратиграфия	8
Интузивные образования	31
Тектоника	43
Геоморфология	49
Полезные ископаемые	52
Полезные воды	56
Литература	60
Приложения	61

ВВЕДЕНИЕ

Территория листа N-54-XXXIII ограничена координатами $52^{\circ} 00' - 52^{\circ} 40'$ с. ш. и $140^{\circ} - 141^{\circ}$ в. д. Она охватывает нижнее течение р. Амур на участке от пос. Аури до пос. Большое-Михайловское. Административно она входит в состав Ульчского района Хабаровского края.

В пределах этого листа наблюдается стык двух горных систем: система хр. Сихотэ-Алинь, протягивающейся в меридиональном направлении по правобережью р. Амур, и хр. Чаятын, вытянутого в широтном направлении на участке левобережья р. Амур, к северо-западу от пос. Ухта. Граница системы Сихотэ-Алинь состоит из отдельных пепелей гор со средними абсолютными высотами 600—700 м. Отдельные наиболее высокие вершины гольцовного типа (горы Хейсу, Белая, Конус и др.) достигают абсолютных отметок 860—966 м. Характерно чередование куполовидных и уплощенных слаженных вершин, разделенных неглубокими (до 200 м, реже 300 м), пологими седловинами. Гребни этих цепей пологоволнистые, часто широкие (200—300 м), с извилистыми очертаниями в плане и асимметричным строением склонов: западные склоны более круты и короткие, восточные — более длинные и пологие.

Восточная оконечность хр. Чаятын, носящая название хр. Гуэр, вытянута в восточно-юго-восточном направлении. Средние высотные отметки этого хребта достигают 600—900 м. В его осевой части расположены отдельные гользовыевые вершины с абсолютными высотами 858, 868, 893, 974 м и другие. Относительные превышения вершин над долинами составляют 400—600 м. Гребни хребта узкие (от 5 до 50—100 м) с извилистыми очертаниями, куполовидными или конусообразными вершинами и более пологими склонами, обращенными в сторону долины р. Амур. Юго-западная часть листа занята Удильской депрессией, представляющей собой сильно заболоченную изменчивость с многочисленными озерами и протоками, среди которых возвышаются плосковерхие отроги хр. Гидали широтного профиля. Реки района относятся к двум бассейнам. Реки, берущие начало на восточных склонах хр. Сихотэ-Алинь, впадают в Амур-

Редактор издательства *Н. Е. Кротова*
Технический редактор *С. А. Петкова*

Корректор *Т. М. Кудинер*

Подписано к печати 25-11-1963 г.
Формат 50×70 $\frac{1}{16}$. Бум. з. 2,0. Тет. з. 4,0. Уч.-изд. з. 4,2
Тираж 250 экз. Зак. 04692

Картфабрика Госгипротехиздата
Ленинград, В-26, 19 здания, дом. 20

ский лиман и Татарский пролив (Мы, Тыма, Гольцовье). Реки, стекающие с западного склона хр. Сихотэ-Алинь и хр. Пуэр (Правая Гера, Прямая и Кривая Кенжа, Пого и Ута), впадают в р. Амур. Речная сеть густая, сильно разветвленная, преобладающее направление течения большинства рек близко к широтному, а их притоков — к меридиональному. В верховых реки Западных и восточных склонов сохраняют основные признаки горного типа: значительный уклон, быстрое течение ($1,5—2,0 \text{ м/сек}$), узкое русло ($2—8 \text{ м}$), обилье перекатов. Длина их долин обычно загромождены глыбами скальных пород. Долины узкие (ширина $20—50$, реже 100 м) с V-образным попечным и невыработанным продольным профилями, передко с асимметричными склонами. Склоны долин крутое ($35—40^\circ$), часто обрывистые. В нижнем течении долины рек постепенно расширяются (с шириной днищ до $700 \text{ м} — 1 \text{ км}$, реже до $5—6 \text{ км}$), уклоны дна уменьшаются, появляются пойменная и I, реже II пойменные террасы. Русла рек становятся извилистыми, распадаются на две-три, реже пять-шесть проток. Ширина водотоков достигает $15—30 \text{ м}$, глубина $0,2—1,5 \text{ м}$. Территория листа пересекается крупнейшей рекой Советского Союза — Амуром, длина которой на этом участке 92 км. Направление течения ее меридиональное и только на участке от рукава Татарского до с. Большев-Михайловского оно субширотное. Ширина долины в южной части листа достигает $20—26 \text{ км}$, сужаясь до 1 км на участке, где Амур пересекает Чанынский хребет. В этом месте берега обрывистые, скальные, высотой до $70—80 \text{ м}$. На участке от с. Аури до с. Богородское река разбивается на два рукава (старый и новый Амур) и образует много островов, разделенных многочисленными протоками (Вассинская, Бол. и Мал. Шаманка). Участок берега от пос. Май до с. Богородское террасирован. Ширина русла Амура меняется от $2—3,5 \text{ км}$ у пос. Кой-мара, Гавань и оз. Хилка до $0,9—1,1 \text{ км}$ у сел Новогеоргиевское и Богородское. Наибольшие глубины по фарватеру наблюдаются у с. Новогеоргиевское (17 м), у с. Больше-Михайловское (14 м), у с. Савинское (16 м); меньше глубины — у с. Богородское (9 м) и у стойбшица Дули (8 м). Наибольшая скорость течения реки у с. Больше-Михайловское ($1,5 \text{ м/сек}$), средняя скорость течения не менее 1 м/сек ; средний уклон равен $0,00004$. Река Амур судоходна на всем своем протяжении. В поиме ее за счет подтопления устьевых частей часто образуются озера: Хилка, Гера, Богородское, Иркутское, Путил. Они имеют сплющенную форму и не превышают по длине $600—900 \text{ м}$, реже $2,0 \text{ км}$; глубина их $0,7—0,8 \text{ м}$, редко более $1,5 \text{ м}$. Часть озер находится в стадии зарастания. Одно из наиболее крупных озер Нижнего Приамурья — оз. Улья, расположенное в левобережной части р. Амур — заходит на территорию листа лишь своей восточной частью. Оно соединяется с рекой Амур протокой Ухта. Длина его на этом участке 6 км , ширина 9 км ,

глубина от $1,5$ до 9 м . Северный берег пологий, заболоченный, южный — крутой, извилистый, с обрывами высотой до 20 м .

Климат района муссонный, характеризуется дождливым летом и холодной ветреной зимой. Среднегодовая температура $-2,3^\circ$. Самый холодный месяц январь (среднемесячная температура $-25,7^\circ$), самый теплый — август (среднемесячная температура $+16,9^\circ$). Осадки по временам года распределены неравномерно. Наибольшее количество приходится на август (112 мм), наименьшее на февраль (13 мм).

Растительный покров однобразен. Большая часть плоскогорий листа покрыта лесами. Основные лесообразующие породы — яйская ель, белокорая пихта, даурская лиственница, бересклет, кедровый стлаником, который в виде полеска очень часто встречается по склонам гор. На низменных участках по долинам рек развиты моховые болота.

Описываемая территория населена неравномерно. Сравнительно редкие населенные пункты, связанные проселочными дорогами, встречаются лишь вдоль р. Амур. Наиболее крупные из них: районный центр с. Богородское, насчитывающий 2,5 тыс. жителей и более мелкие поселки — Соловицы, Дуди, Больше-Михайловское, Гавань, Коима и Савинское с населением около $50—150$ чел. Местное население занимается рыболовством, переработкой рыбопродуктов и лесоразработками.

Геологическое и географическое изучение Нижнего Приамурья началось со второй половины XIX века. Первые довольно скучные геологические и геоморфологические следования сб. этого районе поступили от Н. И. Ансова (1854 г.), Д. Н. Романова (1859 г.), Ф. Б. Шмидта (1861—1862 гг.), Д. В. Иванова (1894—1896 гг.), Э. Э. Анерга (1913 г.), П. И. Полевого (1915 г.), Н. А. Казанского (1916 г.).

С 1917 по 1932 г. ведутся преимущественно поисково-разведочные работы с целью разведки золотоносных и угленосных участков: Г. И. Стальнов (1928 г.), Н. Ф. Рябоконь (1929 г.), В. М. Штемпель (1930—1931 гг.). С 1934 г. площадную геологическую съемку и стратиграфические исследования проводят геологи Нижне-Амурской экспедиции АН СССР Е. И. Соколова (1934 г.), В. А. Мелиоранский, С. И. Кушев и нефтяного геологоразведочного института — Е. М. Смехов (1935 г.), В. А. Кузнец (1936 г.), К. В. Антонов (1936 г.). Вопросами геоморфологии и четвертичных отложений Нижнего Приамурья занимались В. Я. Филиппович (1938 г.), Г. С. Гапешин и Ю. Ф. Чемеков (1946 г.).

В период с 1936 по 1940 г. в низовьях Амура от Дальневосточного геологического Управления производили исследования Л. И. Красный, который составил первую стратиграфическую схему мезозоя и схему по металлогении для Нижнего При-

амура. Сводная стратиграфическая схема его имеет такой вид (снизу):

1. Свита кремнистых яшмовидных сланцев
2. Базальная ит солнинская свита. Конгломераты, гравеллы, песчаники
3. Ульянская свита. Глинистые сланцы и алевролиты
4. Срольская свита. Песчаники полимиктовые средние до грубозернистых с прослоями конгломератов
5. Жоломыжская свита. Песчаники жёлто-серые мелкозернистые, переклаивающиеся со сланцами
6. Послеваланжинские граниты и гранодиориты
7. Утинская свита. Порфириты и их туфы
8. Глинистые сланцы, туфогенные песчаники
- Несогласие
9. Кварцевые порфиры и фельзит-порфиры
10. Чаганская свита. Туфопесчаники и песчаники с прослоями ультистых сланцев
- Несогласие
11. Лардамийские (?) кислые интрузии
12. Глины с растительным мусором, туфопесчаники, туфы
- Несогласие
13. Андезиты
14. Кварцевые порфиры, фельзиты, липариты и их туфы
15. Андезиты, андезито-базальты
- Несогласие
16. Оливиновые базальты
17. Древнеречные террасы. Галечники, пески, бурые железняки
18. Современные отложения

В процессе геологосъемочных и поисковых работ, проводившихся с 1952 по 1956 г. Дальневосточным геологическим управлением (Ю. М. Жилин, 1949 г., П. А. Элов, 1952 г., В. В. Гольян и М. В. Павленко, 1952 г.), а также Четвертым геологическим управлением (Я. И. Файн, 1953 г., Т. А. Бешкаров, 1953 г., Я. И. Файн, 1954 г.) бралась за основу стратиграфическая схема Л. М. Красного, несколько дополненная последующими исследователями. Наиболее поздний вариант стратиграфической схемы юзовской структурной Нижнего Приамурья, мало отличавшейся от схем предыдущих исследователей, приводится в своем отчете Ю. А. Иванов (1957). Он выделяет (снизу):

1. Киселевская свита. Кремнистые сланцы, известняки, диабазы и песчаники с фауной геттант-сиенитового ярусов

Несогласие

2. Сомнинская свита. Конгломераты, грубозернистые песчаники, условно относятся к нижнему отделу юры

3. Ульянская свита. Глинистые сланцы и алевролиты с *Inoceramus formosulus* Voronez¹ (нижняя и средняя юра)

4. Имская свита. Песчаники и алевролиты с *Harpoceras* sp.¹ (относится к средней юре)

Разрыв, возможно несогласие

5. Орельская свита. Песчаники, конгломераты, гравелиты (условно относится к верхней юре — нижнему мелу)

6. Ульская свита. Глинистые сланцы и алевролиты с ауцелами валанжина

Несогласие

7. Вассинская свита. Песчаники, алевролиты и туфогенные песчаники с *Inoceramus concentricus* и др. (сепоман — турон)

Несогласие

8. Порфириты (верхний мел)

9. Кварцевые порфиры и их туфы (верхний мел)

10. Большемихайловская свита. Туфогенные конгломераты, алевролиты и песчаники с флорой датского яруса.

Эти схемы были приняты за основу при подготовке к изданию геологической карты листа N-54-ХХIII в 1955—1956 гг. Начиная с 1957 г., в результате продолжавшихся работ издаельской партии 4 Геологического управления с участием Л. А. Кесслер и С. Б. Бравиной, под руководством главного геолога Экспедиции ХХ района И. И. Тучкова, были получены новые данные по стратиграфии мезозойских образований Нижнего Приамурья, которые позволяют внести существенные корректировки в стратиграфическую схему Л. И. Красного и Ю. А. Иванова.

Основные замечания к стратиграфической схеме могут быть сведены к следующему. Стратиграфическое положение почти всех юрских свит, а также их возраст ошибочны. Палеонтологическое обоснование сдвиг (сомнинской, ульянской и имской) совершенно недостаточно. Возрастное определение крайне редких фаунистических находок весьма сомнительно. Как можно судить по имеющимся материалам, совершенно необосновано преувеличивалась роль юрских отложений и совсем незаслуженно занижалась роль меловых и особенно верхнемеловых образований. На рассматриваемом участке Нижнего Приамурья получают преимущество развитие меловые образования, различные по своему возрасту и вещественному составу. Отложения среднего и значительной части верхнего стратиграфия и возраст не только нижнемеловых, но и верхнемеловых толщ.

Следует отметить, что и к югу от рассматриваемого листа, в пределах Нижнего Приамурья и Северного Сихотэ-Алиня

¹ Эти формы определялись соответственно Г. Т. Чечлинцевой, З. В. Константиновой и В. П. Ренгареном, уверенными в том, что они проходят из юрских отложений.

работами А. И. Савченко, Е. Б. Бельгевея, А. И. Исаковой, П. П. Емецянова, Т. Д. Зоновой, А. А. Шалимова и другими. В 1955 г. и в последующие годы было доказано чрезвычайно широкое развитие морских нижнемеловых и зерхнемеловых отложений.

В основу настоящей объяснительной записки и геологической карты положена типовая легенда к Нижне-Амурской серий листов, утвержденная в апреле 1959 г. Научно-редакционным Советом ВСЕГЕИ. Были использованы также и материалы по дешифрированию аэрофотоснимков.

СТРАТИГРАФИЯ

На площади листа развиты осадочные, вулканогенные и интрузивные образования мезозойского и кайнозойского возраста. Наиболее древними из них являются породы Киселевской свиты (?) и верхнегорские — нижнемеловые отложения, обнаружающиеся в юго-западной части листа, в районе оз. Ульвиль. Позднее изучались Л. А. Кесслер и И. И. Тучковым в 1957—1959 гг. В результате этих исследований были выделены кречетисто-спилитовые образования Киселевской свиты (?) геттингенито-аммонитами и верхнего волжского яруса инициаторскими аупеллами и аммонитами верхнего волжского яруса и валанжина; толща полимиктовых песчаников губокогенного облика (вероятно, валанжин) II, толща глинистых сланцев и туфоконгломератов с гастроподами и аммонитами гортерив-барремского возраста (уктурская серия). Суммарная мощность верхнегорско-нижнемеловых отложений около 4500 м.

С резким разрывом и угловым несогласием на подстилающих породах залегают верхнемеловые образования (изучались в 1957—1959 гг. С. Б. Бравиной, Л. А. Кесслер и И. И. Тучковым), которые могут быть подразделены на две толщи: морскую терригенную и осадочно-вулканогенную, преимущественно конгигантальную. Первая толща мощностью около 3700 м подразделяется на три свиты — нижнюю, по составу алеврито-песчаново-аргиллитовую (альб-сенона); среднюю — кальминскую; верхнюю — удомлинскую, туфогенно-аргиллитовую (вероятно, верхний турон и нижний коньек). Вторая осадочно-вулканогенная толща, перекрытая пирокластичной пачкой из песчаниковую (турон) и верхнюю — удомлинскую — большинскую, татаркинскую и малоихайловскую. Большинская свита существенно эфузивная, среднего состава, с редкими пачками туфов, по флоре сенонского возраста. Татаркинская свита сложена эфузивами кислого и среднего состава с редкими прослоями туфов и туфогенных пород, по флоре Верхнесенонского — маастрихтского возраста. Малоихайлов-

ская свита преимущественно вулканогенно-осадочная, по флоре латского возраста.

На размытой поверхности верхнемеловых пород с резким разрывом и угловым несогласием залегают базальты неогенового возраста, покрывающие почти всю юго-восточную часть площади листа.

Рыхлые отложения неогенового и четвертичного возраста представляют различными генетическими типами, из которых наиболее существенное значение имеют озерные, аллювиальные и органогенные фации.

Развитые на территории листа гранитоиды (граниты, граниториты, кварцевые диориты и монцониты) в основном раннепалеогенового возраста. По видимому, среди них имеются интрузии и более древнего (мелового) возраста.

ГОРСКАЯ СИСТЕМА

Нижний отдел

Киселевская свита (*J_{ks?}*)

В пределах листа N-54-ХХХII кремнисто-спилитовые породы, параллелизуемые с несколько условных позиций с киселевской свитой, выступают по северному побережью оз. Дудинское. В нижней части эта толща сложена преимущественно измененными зеленокаменными породами, в том числе порфириями и диабазами, местами интенсивно карбонатизированными и амфиболизированными. Среди них преобладают порфириты зеленовато-серого цвета с редкими вкрашениками плагиоклазов размером 0,5—1,5 мили. Плагиоклаз — андезин № 32—36 наблюдается в виде табличчатых кристаллов, сильно серицитизированных и эпилитизированных. Основная масса породы, в которую погружены вкрашеники, почти нащет замещена волокнистым агрегатом, состоящим из светло-зеленоватого актинолита и мелкочешуйчатого хлорита. Среди порфиритов залегают пластины диабазов темно-зеленого цвета с характерными шаровой и склерулитовой структурами. В сильно амфиболизированных диабазах первый состав сохранился только на отдельных участках с микродиабазовой структурой, состоящими из лейстовидных кристаллов плагиоклаза (андезин — лабрадор № 48—52), моноклинного приоксена и реже оливина.

Порфириты и диабазы содержат лигзы и простой туфов мощностью от 0,5 до 8—9 м. В зеленовато-серых слегка окремневых туфах преобладают обломки миндалекаменных порфириотов размером 1—2 сми, обладающих микролитовой структурой основной массы. Литокластические туфы переслаиваются с тон-

югостоистыми пепловыми туфами и кремнистыми породами, сильно окрашенными от сургучно-красных до темно-зеленых.

В верхней части разреза свиты преобладают кремнистые и кремнисто-глинистые сланцы, чередующиеся с пластами оливиновых лябазов и окремистых алевролитов, глинистыми сланцами и песчаниками. Кремнисто-глинистые сланцы зеленовато-серого цвета имеют слоистую текстуру, обусловленную чередованием светлых хальцедоновых прослоек с криптокристаллизированным строением и темно-бурых, глинистого состава пелитовой структуры, часто обогащенных гидроокислами железа. Кремнисто-глинистые прослои часто содержат перекристаллизованные скелеты радиолярий плохой сохранности. Сланцы верхней части разреза нередко содержат пачки темно-серых кристаллокластических туфов, туфобрекций и мелкогалечных туфоконгломератов с линзами тонкозернистых глинистых известняков. Мощность свиты 500—600 м.

Возраст образований определяется свиты пеясен. По вещественному составу она очень напоминает киселевскую свиту, в которой в районе д. Киселевки обнаружена фауна брахиопод, пелепицоп и пефалопод петранг-спилоторского возраста. Больше того, А. И. Жамойда, изучавший радиолярий киселевской свиты, указывает, что радиолярии, обнаруженные им в кремнистых породах оз. Ульяль, ничем существенным не отличаются по своему составу от радиолярий киселевской свиты. На этом основании мы считаем, что толща кремнисто-спилитовых пород, обнажающаяся к югу от оз. Ульяль, должна быть отнесена, конечно, не без элемента условности, к киселевской свите.

Верхний отдел юрской системы — нижний отде- ля меловой системы ($J_3 - C_1$)

Туфогенно-сланцевые отложения верхней юры — валанкия в виде широкой полосы субширотного направления обнажаются севернее кремнисто-спилитовых пород киселевской свиты. Они залегают на этой свите без видимого углового несогласия, как это можно видеть в береговых обнажениях западной части оз. Ульяль.

В самой нижней части (около 500 м) толща сложена глинистыми сланцами и массивными алевролитами с прослойями известковистых туфокристаллокластических туфов среднего состава мощностью от 7—10 см до 1,5—2 м. Среди обломков и галек (размером от 2,5 до 10 см) грубоблочными пород преобладают эфузызы среднего и кислого состава с андезитовой и трахитовой структурой основной массы, а также обломки кварца, приносимые роговой обманки и полевых шпатов. Цементирующая масса

глинистая, иногда карбонатированная с значительной примесью туфогенного материала. Полномитовые песчаники состоят из зерен полевых шпатов, реже кварца и обломочков глинистых сланцев размером от 0,5 до 3—5 мм. В этой части свиты встречаются прослои (0,15—0,7 м) кремнисто-глинистых и глинистых сланцев с частками радиолярий, а также линзы кремнистых сланцев и конкреции мергелей.

Средняя часть толщи состоит преимущественно из туфогенных сланцев (800—900 м). Это по существу глинистые породы с неравномерным распределением в них пирокластического материала. Среди обломков, иногда окатанных, различаются глазчатым образом вулканические бомбы размером от 1—2 до 20—30 см, средние и кистевые эфузивы, а также угловатые окольчатые обломочки альбитизированных разложенных плагиоклазов и редко кварца. Особенно большие скопления грубого пирокластического материала наблюдаются в нижних и верхних слоях. Для средних слоев более характерно тонкое чередование (от 3—5 м до 15—25 см) мелкозернистых песчаников и глинистых сланцев, несущих туфогенные. В целом для этой части толщи необходимо отметить присутствие отдельных пластов разновозрастных граувакковых и туфогенных песчаников, нередко известковистых, и мелкогалечных туфоконгломератов мощностью 1,5—2,5 м. Нередки прослои (от 0,5 до 3—5 м) кремнистых сланцев с обилием перекристаллизованных радиолярий, измененных зеленокаменистых туфов среднего состава, разнообразных в структурном отношении, а также пласти пирофиритов. Среди нижних туфогенных сланцев встречаются шаровые, валунноподобные конкреции и линзы мергельных известняков. На территории смежного к западу листа, на берегу оз. Ульяль, у мыса Санган И. И. Тучковым и Л. А. Кесслер (1957—1959 гг.) в мергельных конкремциях из нижних слоев туфогенных сланцев обнаружены ауцеллы, аммониты, губки и другая фауна, указывающая, скопление всего, на верхний волжский ярус.

Верхняя часть толщи мощностью около 1100 м представляет собой переслаивание глинистых сланцев, алевролитов и темно-серых песчаников (от 1—2 до 10—15 см). Местами в сланцах наблюдаются скопления пирокластического материала — преимущественно обломков осветленных лиловатых порфириров и их туфов. Глинистые сланцы черные, сильно рассланцованные, почти черные, слоистые с алевропеллитовой структурой. Они содержат линзовидные прослои зеленоватых туфов и жгетовато-серых известковистых туфспесчаников мощностью 15—20—40 см.

Суммарная мощность отложений толщи составляет 2400—2500 м.

В возрастном отношении верхняя часть толщи должна быть отнесена уже к валанкину на основании полного сходства ее с толщами, где найдены ауцеллы валанжина.

Аналогии описанной толщи отсутствуют среди свит типовой легенды и Нижне-Амурской серии листов. Видимо, в дальнейшем имеет смысл называть ее Ульяльской свитой, так как стратотип этой свиты установлен по хорошим обнажениям южного берега оз. Ульяль.

МЕЛОВАЯ СИСТЕМА

Нижний отдел

Валанжинская серия (C_{4IV^2})

Отложения, отнесенные условно к валанжину, представлены преимущественно песчаниками, которые в пределах листа обнажаются по юго-восточному побережью оз. Ульяль и в западной части хр. Гидали.

Эта толща, как можно судить по разрезам у западной рамки планшета, без перерыва в осадконакоплении залегает на предыдущей свите. Она сложена песчаниками зеленовато-серой, зеленовато-темно-серой окраски, преимущественно туфогенными, с хорошо выраженной шаровой отдельностью. Итога песчаники включают прослои гравелитов и мелкогалечных конгломератов мощностью 1,5—2,0 м. Не менее характерной особенностью этих песчаников является сильно выраженное ячеистое выветривание, причем размер ячеек колеблется от 1—2 до 25—30 см в поперечнике. Появляющиеся при этом углубления окружной формы образуются за счет разрушения менее стойких, с карбонатным цементом участков породы.

По составу песчаники полимиктовые, крупно- и среднезернистые, с довольно частыми мелкими обломочками черных аргиллитов. Они массивные, реже горизонтально- и волнистослоистые. Среди кластического материала преобладают обломки кварцитовидных и кремнистых пород, реже встречаются кремнисто-серпентиновые, алевролито-глинистые сланцы и алевролиты. Редкие обломки эфузивов представлены преимущественно порфиритами и фельзитами. Терригенный материал не отсортирован; зерна минералов осколочаты, угловаты или слабо окатаны.

В средней части толши резко преобладают песчаники с редкими пачками сланцев мощностью от 1 до 8—10 м, включающими простой (от 3—5 м и до 15—20 см) алевролитов и мелкозернистых песчаников. Мощность отдельных пластов песчаника колеблется от 10—20 см до 15—20 м. Нижняя и верхняя части толщи характеризуются частым и сравнительно тонким чередованием прослоев песчаника, алевролита и глинистых сланцев, мощность которых изменяется от 0,5—1 до 40—50 см. Среди них часто можно встретить известковистые алевролиты и тонкозернистые песчаники с карбонатным цементом. В песчаниках

этой толщи не были обнаружены определенные органические остатки. Однако В. К. Елисеевой (1940) в литологически сходных породах на р. Бол. Вилка, северо-западнее мыса Литке найдены *Ancilla c. crassa* Ravn., A. c. *inflata* Ravn. (определены В. И. Бодлевского), которые говорят о валанжинском возрасте отложений. Мощность песчаниковой толщи 1100—1200 м. Нельзя не заметить, что породы этой толши тождествены песчаникам орельской свиты, названной Л. И. Красным по одновременному озеру (1940, 1956), в районе которого отложила этой свиты наиболее широко развиты.

Уктурская серия (C_{4IV^2})

Отложения уктурской серии протягиваются неподалеку от протоки Амура — Ухты. Наиболее полный разрез этих отложений наблюдался в восточной части побережья оз. Ульяль, где они постепенно сменяют песчаники предыдущей толши.

На западе породы серии ограничены сбросом и по плоскости последнего контактируют с песчаниками валанжина.

Разрез отложений уктурской серии здесь следующий. На темно-серых песчаниках туфогенного облика с характерной шаровой отдельностью и ячеистым выветриванием залегает толша пород мощностью 200 м, состоящая из глинистых (алевритопелитовых и пелитоалевритовых) сланцев черных, иногда темно-бурых, сильно ожелезненных, местами туфогенных. Они чередуются с массивными алевролитами и песчаниками мелкозернистыми, зеленовато-темно-серыми, переполненными обломочками аргиллитов. Мощность отдельных слоев изменяется от 2—3 см до 0,3—0,8 м. Верхние слои толщи представляют собой более тонкое чередование (от 2—5 см до 10—12 см) глинистых сланцев и тонкослоистых алевролитов.

Они сменяются пачкой туфогенных сланцев мощностью 80—100 м, содержащих маломощные прослои алевролитов и песчаников и характеризующихся крайне неравномерным распределением прикластического материала мелких фракций.

Выше залегают туфоконгломераты (70—80 м), состоящие из угловатых и лепешковидных обломков глинистых пород, алевролитов, вулканических бомб миндалекаменных порфиритов, фельзитов и окремелевых пород, погруженных в глинистый цемент. Размер обломков колеблется от 2—3 см до 0,15—0,4 м. Обломочный и прикластический материал распределен в породе весьма неравномерно. Встречаются участки глинистых пород, почти лишенные грубого кластического материала. Наряду с мертвательными эллиптическими конкрециями размером от 0,2 до 1,2 м встречаются линзы и включения светлых известняков. Они включают скопленающую фауну, представленную следующими формами: *Lymnaea sp.*, *Bebekella c. lata* (Ovrigipu), *Peregrinella*

sp., *Chlamys* sp., *Etoitium* sp., *Ostrea* sp., *Dosinia* sp., *Meretrix* sp., *parva* Sowerby, *Metacerithium* sp. и другие гастро-
полы, а также аммониты *Barremites* sp. indet., *Lytoceras* sp.

идет и обильные фораминиферы и радиолярии. Эта фауна указывает скорее всего на готерив-барремский возраст отложений, конечно, не без элемента усloвиности.

Еще выше следует пачка глинистых сланцев мощностью 120—150 м, почти черных, с алевролитовой структурой, участками сильно туфогенных. В глинистых сланцах, находящихся в тонком переслаивании с алевролитами (от 3—5 м до 5 см), содержатся редкие прослои и линзы (от 1,5 до 3—5 л) туфоген-
ных песчаников и кремнистых пород.

Завершает разрез туфоконгломераты (80—90 м), сложенные главным образом обломками осадочных пород (аргиллитов, алевролитов и песчаников), миндалекаменных порфиритов и фельзитов, смешанных глинистым материалом. Встречаются пластины (8—10 л) гравелестых песчаников и алевролитов, в которых переслаивание происходит слоями мощностью от 3—5 до 15—20 см. Обычны многочисленные валуноподобные элититические моргельные конкреции и включения светлых известняков размером от 10—15 см до 0,8—1,0 м.

Видимая мощность отложений укутурской серии около 600 м. Следует отговориться, что описанная толща пород по своему облику, вещественному составу, палеонтологическому обоснованию и стратиграфическому положению не может быть полностью сопоставлена со стратотипом укутурской серии. Поэтому не исключена возможность, что эти отложения в дальнейшем будут выделены в самостоятельную свиту.

Нижний — верхний отделы

Образования этого возраста, залегающие с разрывом и угловым несогласием на подстилающих породах, преобладают на площади листа. Они легко подразделяются на две резко отличные по вещественному составу толщи: нижнюю, состоящую преимущественно из нормально терригенных пород, и верхнюю, существенно вулканическую, в которой осадочные породы при-
нимают незначительное участие.

Нижняя, терригенная, часть верхнечемловых образований названа Л. И. Красным (1940) вассинской свитой по одноименной протоке р. Амур, в береговых обнажениях которой впервые были описаны отложения этой свиты. По палеонтологическим собраниям Л. И. Красного Г. Я. Крымтоглы установил альб-сено-
манский возраст отложений.

В результате геологических исследований 1957—1959 гг. стратиграфия и объем названных верхнечемловых толщ Нижнего Приамурья существенно изменились по сравнению с более

ранними представлениями. Неизмеримо вырос объем как терригениной, так и вулканогенной толщи верхнего мела.

Терригенные отложения верхнего мела выступают по правой береговой р. Амура, в районах поселков Новый Быт, Монгол, Западка Князева, Гавань и Богословское. В зависимости от особенностей вещественного состава и распределения фауны отложения терригенной толщи могут быть подразделены на три различных стратиграфических единицы: верхний альб — сеноман, кальманская (турой) и удоминскую (верхний турой — конъяк) свиты.

Альбский-сеноманский ярус

В пределах листа альб-сеноманские отложения в виде узкой полосы протягиваются вдоль левого берега Вассинской протоки у Западки Князева. Разрез их здесь следующий (спизу):

Нижняя часть толщи сложена преимущественно аргиллитами черными с зеленоватым оттенком, местами туфогенными. Они чередуются с прослойями туфогенных песчаников и зелено-вато-темно-серых туфлитов. Мощность прослоев аргиллитов и туфопесчаников колеблется от 0,5 до 1,5 м, редко достигая 3—5 м. Аргиллиты с характерной карафеобразной отдельностью распадаются на мелкую щебенку. Имеют пелитовую и алевропелитовую структуру.

В пелитовое малодействующее на поляризованный свет веществе включены редкие зерна кварца, полевых шпатов и мельчайшие чешуйки серциита. Размер зерен не превышает 0,01 мм. Туфогенные аргиллиты и туфлиты обладают пелопсаммитовой и туфопесчанниковой структурами. Состоят они из пирокластического и нормально терригенного материала. Кластический материал обычно плохо отсортирован, окольчат и угловат, реже встречаются слабоокатанные и окатанные зерна. Размер обломков колеблется от 0,01—0,03 до 2—5 мм. Представлены они полевыми шпатами, главным образом плагиоклазом, кварцем, и чешуйками биотита; в больших количествах присутствуют обломки эффузивов кислого и среднего состава. Цемент базальтический, по составу глинисто-пепловый, реже слюдисто-глинистый с примесью гидроокислов железа и пеплового материала. Участками цемент карбонатизирован и окварциован.

В верхней части толщи наряду с аргиллитами весьма существенное значение приобретают массивные полимиктовые песчаники, мелко- и среднезернистые, местами туфогенные, с обломками разнородных пород. Они содержат маломощные прослои (0,2—0,5 м) слоистых глинистых алевролитов и аргиллитов, которые передко совместно с песчаниками образуют пачки значительной мощности (9—12 м). Мощность отдельных пластов песчаника изменяется от 0,5 до 2,5 м. На плоскостях насыщения аргиллитов и алевролитов наблюдаются червеобразные прихотливо изгибающиеся включения улисто-глинистого вещества,

являющиеся, видимо, следами жизнедеятельности животных. Песчаники неравномеризионистые, полимиктовые с неогортованными угловатыми и остругуловатыми зернами и обломками размером от 0,01 до 0,4—1 ми, реже 3 ми. Представлены они кварцем, реже полевыми шпатами, редкими зернами карбоната, циркона, листочками биотита и мусковита, а также эффиузивами среднего состава, алевролитами, кремнистыми сланцами, известняками. По типу цемент соприкосновения, реже базальтный, по составу глинисто-железистый, карбонатно-железистый, иногда карбонатный.

Для туфгенных песчаников характерна та же алевролитоминовая структура с тем же составом кластического материала. Кроме того, в них наблюдаются неправильные по форме скопления пеплового материала в виде серповидных, дугообразно изогнутых, кольцевидных, оскольчатых частичек вулканического стекла, кварца и реже полевых шпатов.

Алевролиты характеризуются алевролитоминовой и алевролитовой структурами. Кластический материал такой же; иногда наблюдается овальные обломки темных аргиллитов. Зерна утолшавые, реже полуокатанные; размер их не превышает 0,1 ми. Цемент слюдисто-глинистый с примесью гидроокислов железа.

Найденные здесь пластинчатожаберные, брахиоподы и ракообразные определялись В. Н. Верещагиным, Г. Я. Крымовым и И. И. Тучковым. И. Д. Новожилов определил ракообразных. Острова были установлены *Dentalium cf. alineatum* Stephenson, *Rhynchonella* sp., *Terebratula* sp., *Venericardia* ex gr. *alveana* Stephenson, *Inoceramus concentricus* Parkinsson, *In. concentricus* Park. var. *nipponicus* Nagao et Matumoto, *Camponeces striatus* Röem., *Lima* (Acasta) *longa* Röem., *Ostrea* sp., *O. canaliculata* Sow., *O. limaciforme* Gerasimov, *Ehogrya* ex gr. *sinuata* (Sow.), *Rystolepas rigida* (Sow.) и крупнолистные отпечатки покрытосеменных. Сюда же относится окаменелости, найденные севернее, по правобережью р. Амур, в районе бухты Кухтерина — *Micraster* sp., *Inoceramus concentricus* Park. var. *nipponicus* Nagao et Matumoto, *In. crippsi* Mantell, *In. yabei* Nogao et Matumoto, *In. cf. In. anglicus* Woods.

Первая и пятая формы списка близки к видам, происходящим из сеноманских отложений Техаса (Woodbine Formation); среди иноцерамов чрезвычайно характерны виды являющиеся отложенными Азии и Европы. *In. crippsi* Mantell, характерен для сеноманских отложений Кавказа, Средней Азии и Западной Европы; *In. yabei* Nagao et Matumoto свойствен сеноману и нижнему турону Японии. Встречаются формы, близкие к *In. anglicus* Woods, который типичен для альба Англии. Происходит из альбских отложений Англии и *Lima longa* Röem.; многочисленные формы *Ostrea* и *Ehogrya* известны

преимущественно из нижнеледниковых отложений. Остатки ракообразных (*Rystolepas*), встречающиеся также в большом количестве, описаны из альбских отложений Англии. Таким образом, можно предположить, что описанная Толса включает образование верхней части альбского яруса и отложения сеномана. Мощность альб-сеноманских отложений около 1400—1500 м.

Туровский ярус

Кальминская свита (Grkl)

Свита названа по одиноченному поселку на правом берегу р. Амур, за предметами листа, где она лучше обнажена и фаунистически характеризована. Свита существенно песчаниковая, залегает совершенно согласно на предыдущей с постепенным переходом. Развита по право- и левобережью р. Амур в районах сел Монгол, Сазинское, пос. Новый Быт, на междуречье Мытищим и южнее с. Гавань. Возможно, самая верхняя часть отложений этой свиты выступает в осевой части хр. Чаятын.

Сложена свита преимущественно мелко- и среднезернистыми, реже крупнозернистыми полимиктовыми песчаниками, массивными, реже слоистыми розовато-серой или сиренево-серой и оливковой окраски. Среди кластического материала песчаников со слабоокатанными и утолшавыми зернами и обломками размером от 0,01 до 1—3 ми различаются кварц, плагиоклаз, калиевый полевой шпат, редкие зерна пироксена, циркона, сфена и апатита, листочки биотита и мусковита, обломки кислых и средних эффиузивов (порфириты и фельзиты), алевролитов, кремнистых пород и известняков. Тип цемента соприкосновения, реже базальтый. По составу он кремнисто-железистый, кремнистый, глинисто-слюдистый, иногда карбонатный. В туфогенных разностях наблюдается неравномерная примесь пирокластического материала (2—5%), состоящего из полевых частичек вулканического стекла, осколков кварца, плагиоклаза и островерхолистых обломков эффиузивных пород. Нередко песчаники, особенно гравелистые, содержат лепелковидные обломки черных аргиллитов, самые разнообразные по размерам — от тощечных до 2—5 см в поперечнике. Иногда они настолько обильны, что, переплавлены породу, образуют линзы пульпинговых песчаников. Презервативно характерной и любопытной особенностью песчаников является их сфероидально-скоруповатая отдельность. Размеры последней изменяются от 3—5 см до 1—2 м. В них красно выражены концентрические пироклазовые жилы, и по ним обычно происходит отслоение отдельных чешуй толщиной от 0,5—2 до 5—10 см.

В основании кальминской свиты залегают песчаники разноцветные, крупнозернистые зеленовато-серого и желтого цвета, туфогенного облика. Песчаники заключают мел-

мощные пачки мощностью от 0,2—0,3 до 1,5—15 м, состоящие из аргиллитов, алевролитов, стойлистых и плитчатых мелкозернистых песчаников и туфогенных песчаников, находящихся в тонком переслаивании. В средней и нижней частях свиты количество таких пачек резко сокращается, а в верхней сильно возрастает.

Мощность пластов песчаников колеблется от 0,3—0,5 до 2—5 м, мощность алевролитов и песчаников в пачках колеблется от 2—3 до 15—20 см, а аргиллитов от 2 до 10—15 см. Встречаются пачки, где резко доминируют аргиллиты, особенно это характерно для верхней части свиты; в других преобладают песчаники и алевролиты. На плоскостях насыщений как песчаников, так алевролитов и аргиллитов наблюдаются следы ракий, волноприбойные залки и очень часто ходы червей и илоедов. Аргиллиты — пелитовой и алевропелитовой структуры, с характерной каравеобразной отдельностью, распадаются на мелкую щебенку. Почти все породы свиты, особенно алевролиты, песчаники и среди них туфогенные содержат в больших количествах обугленные растительные остатки, не поддающиеся определению. Изредка можно встретить малоомощные прослойки (1,5—2 см), переполненные растительным детритусом, среди которого встречаются крупнолистные отпечатки покрытосеменных.

В нижней части отложений свиты найдены иноцирамы: *Inoceramus* sp. indet., *In. teshioensis* Naga o et Matsumoto, *In. tschajimensis* var. *yeharai* Naga o et Matsumoto, а в верхних песчаниковых слоях — многочисленные устрицы: *Liosstrea* sp., *Gryphaea* sp., *Cardium* sp. Эта фауна указывает, скорее всего, на туронский возраст отложений. Мощность отложений кальмийской свиты 900—1000 м.

Сенонский надзарус Удоминская свита (*Sgruid*)

Отложения удоминской свиты залегают согласно на предыдущей свите без перерыва в осадконакоплении. Они протягиваются в виде широкой полосы субширотного и северо-восточного простирания по право- и левобережью р. Амура и слагают большую часть хр. Чагтын, северную часть хр. Синкотэ-Алинь и хр. Дудинский.

1. В основании свиты¹ залегает пачка мощностью 200 м черных тонкослоистых аргиллитов, аналогичных аргиллитам предыдущей свиты и также переполненных растительными остатками и фузулами. Аргиллиты алевропелитовой структуры заключают прослойки кристаллокластических туфов, состоящих в основном из угловатых зерен кварца, полевых шпатов и

реже обломочков эффузивных пород среднего состава с глино-стопелтовым цементом. Кверк резко увеличивается количеством вулканогенных город. Появляются прослой зеленовато-серых литокристаллокластических тонкостратифицированных пелевых и кристаллокластических туфов. Мощность их колеблется от 5—6 см до 0,5—1 л.

2. Поверх аргиллитовой пачки залегает пачка пород мощностью 30 м, состоящая из агломератовых лав, туфобрекций и литокристаллокластических туфов андезитов, тонкочередующихся с прослойми кристаллокластических, псамитовых и окремелых пелтовых туфов, а также туфопесчаников. В туфах содержатся линзовидные прослои аргиллитов.

3.

Выше следует пласт агломератовых лав мощностью 40—50 м. Эти породы зеленовато-серые и темно-серые с многочисленными включениями и обломками пироксеновых и роговообманковых андезитов светло-сириево-красной, зеленовато-серой и лино-вато-сириево-окраски. Размер обломков колеблется от 0,5—1 до 10—30 см. Обломки цементируются лавой андезитового состава с редкими вкраплениками плагиоклаза — андезина № 36—38, роговой обманки и пироксена. Структура основной массы андезитовая. Андезиты в обломках преимущественно плагиоклазовые, реже биотитово-роговообманковые и пироксеновые, состоят из таблитчатых кристаллов плагиоклаза — андезина № 40, реже роговой обманки, пироксена и биотита. Основная масса криптокристаллическая, участками микролитовая, частично карбонатизированная и хлоритизированная. В агломератовых лавах встречаются редкие прослой светло-зеленовато-серых окремелых пелтовых и кристаллокластических туфов, фельзитов мощностью 10—25 см.

4. Еще выше лежит довольно мощная толща (700—800 м) черных аргиллитов и тонкозернистых песчаников, переслаивающихся в разных соотношениях с прослойми зеленовато-серых туфопесчаников и туфов андезита, различных по структурным особенностям. Эта толща включает, кроме того, пластиы агломератовых лав и роговообманковых андезитов, мощность которых обычно не превышает 3—5 м. Мощность прослоев туфогенных город колеблется от 2—3 до 20—30 см. Встречаются и сильно окремелые породы, особенно в верхней части свиты. В отдельных интервалах толщи наблюдаются отдельные пачки ритмического чередования тонкослоистых нормальноосадочных и туфогенных пород: аргиллитов, алевролитов, мелкозернистых песчаников, тонкостратифицированных пелтовых, кристаллокластических псамитовых, иногда окремелых туфов и грубослоистых литокристаллокластических туфов. Мощность таких пачек достигает 20—30 м. Тонкие туфы обычно имеют алевритовую и алевролитовую структуру. Состоит они из мельчайших сколовоцветных зерен (размером от 0,01 до 0,05 мм, реже 0,1 мм) кварца, полевых шпатов и осколков вулканического стекла дугообраз-

¹ Порядковые номера в тексте соответствуют номерам пачек на рисунке.

ной, роговицатой и серповидной формы, заключенных в волокнистую глинисто-пепловую массу. В верхней части свиты, в кремнистых и тонкозернистых туфогенных городах обнаружены плохо сохранившиеся рапакварии и остатки инцерамов, не поддающиеся определению. Найденные органические остатки явно недостаточно для установления возраста отложений ульминской свиты. Но, учитывая стратиграфическое положение свиты, ее можно условно отнести к верхней части турона и коньяку. Суммарная мощность отложений ульминской свиты около 1000—1100 м.

Стратиграфически выше следует осадочно-вулканогенная толща верхнего мела большей мощности. По различию в вещественном составе и обнаруженным флористическим комплексам эта толща может быть подразделена на три свиты: больбинскую (нижнюю), татаркинскую (среднюю) и маломихайловскую (верхнюю).

Больбинская свита (Cr_2bl)

В пределах рассматриваемой территории осадочно-вулканогенные образования больбинской свиты слагают южные отроги Чаятынского хребта, бассейны рек Мы, Тыма, Прямая Кенка и Пото, выступают также и в левобережной части р. Амур на значительной площади. С разрывом и несогласием они залегают на подстилающих породах¹.

Нижняя часть больбинской свиты полностью около 300 м сложена агломератовыми лавами и лавоконглобрекциями андезитов. Это зеленовато-серые и темно-серые с сиреневыми разводами породы, сложенные преимущественно окрученными и угловато-окатанными обломками андезитов размером от 2—5 мм до 0,5—1 л., погруженные в лаву того же андезитового состава. В обломках андезиты имеют порфировую структуру с вкрашенниками из среднего плагиоклаза — андезина № 35—40, реже прикосна, роговой обманки, пластичатого биогита и скоплений зерен рудного минерала. Основная масса обладает криптокристаллической, реже микролитовой структурой.

В агломератовых лавах наблюдаются угловатые обломки плагиоклазовых, роговообманковых и прикосновых андезитов, окраинных в лиловато-сиреневые, зеленовато-сиреневые и зеленовато-темно-серые тонк. Среди вкрашенников наряду с плагиоклазами преобладают кристаллы роговой обманки, реже встречаются короткокристаллические кристаллы моноклинных прикоснов. Полевые шпаты представлены как средними плагиоклазами (андезин № 36—40), так и плагиоклазами более основного состава (андезин № 44—46). Основная масса имеет пла-

тиловую или микролитовую структуру. Лава, cementирующая обломки, того же андезитового состава с криптокристаллической или микролитовой структурой основной массы.

Агломератовые лавы пересланы с пластами темно-серых, зеленовато-серых роговообманковых андезитов, часто измельченных, слегка окремнелых и карбонатизированных, обладающих шаровой отдельностью. Это порфировые породы с вкрапленниками уединенно-призматических кристаллов плагиоклаза (андезин № 36—38 и 40—42), достигающих в длину 0,2—0,8 м, реже 1,5—2 м. Редкие шестоватые кристаллы роговой обманки и единичные кристаллы пироксена часто бывают почти напело замещены волокнистым актинолитом и хлоритом. Среди акцессорных минералов различается апатит и магнетит. В андезитах преобладают микролитовую и криптокристаллическая структура основной массы. Мощность отдельных пластов андезитов и агломератовых лав колеблется от 10—15 до 25—30 м. Среди них залегают крайне редкие маломощные пачки (3—5 м) тонкостратифицированных литокристаллокластических и пепловых тонких туfov с многочисленными растительными остатками.

Выше следует мощная толща (около 1000 м), состоящая из тех же агломератовых лав и андезитов, в нижней части которой появляются пачки (мощностью от 5—10 до 30—50 м) черных аргиллитов и алевролитов, местами туфогенных, тонкослоистых кристаллокластических и пепловых туfov андезита, а также мелкогалечных туфоконгломератов. Мощность отдельных прослоев изменяется от 2—3 до 10—15 м. В верхней части толщи эфузивные породы точно так же содержат редкие пачки тонкостратифицированных туfov мощностью от 1,5 до 8—10 м.

В структурном отношении это тонкослоистые кристаллокластические и пепловые туфы светло-зеленой и зеленовато-серой окраски. По составу они андезитовые и дацитовые. Среди них изредка можно наблюдать прослон темных туфитов.

К таким прослоям тонкостратифицированных туfov в районе сел. Тыр, севернее рассматриваемого листа приурочены многочисленные растительные остатки, среди которых В. А. Вахрамеев установил: *Palibinopteris inaequirima* Ргуп., *Serpulotaxopsis heterophylla* Но 11, *C. internedia* Но 11, *Equisetites* sp. (кубанская), обрывки покрытосеменных. Все эти формы характерны главным образом для отложений сенона и не встречаются в более молодом чаганском комплексе. Интересно сочетание в этом комплексе обрывков листьев покрытосеменных, появившихся в верхнем мелу, с присутствием папоротника *Palibinopteris inaequirima* Ргуп., известного из отложений верхней части нижнего мела Приморья. Наличие этой формы поликратически встречается в образцах из верхней части толщи, залегающей на слоях с инцерамами турон-коньякского возраста. Суммарная мощность свиты около 1500 м.

¹ По данным З. П. Погановой, больбинская свита лежит согласно на подстилающих образованиях.

Сеноманский и амурский ярусы обнаженные

Татарская свита (*Craft*)

Свита получила название по одноименным речкам, впадающим справа в р. Амур, в районе которых вскрывается наиболее полный ее разрез. По вещественному составу она превышает буинскую свиту. В районе поселков Новогеоргиевск и Новый Быт из разреза выпадают образования большинской свиты, и в этом случае породы татаркинской свиты негосретственно ложатся на размытую поверхность интенсивно дислоцированных пород нижнего или верхнего яруса (сеноман — турон). Буинские образования татаркинской свиты слагают северные отроги Чалтынского хребта и протягиваются далее по правобережью р. Амур до северной границы описываемого листа. Сохранились они в виде небольших покровов в северной части хр. Гидали и в бассейне р. Кильва Кенка.

Разрез свиты может быть представлен в следующем виде (снизу):

1. В основании свиты залегает толща мощностью 150—200 м зеленовато-светло-серых лавобрекий дацита — пород массивных и с флюидальной текстурой. В них наблюдаются редкие вкраплениники полевых шпатов и многочисленные обломки фельзитов размером 2—4 см, реже 1—2 см, которые погружены в бурую стекловатую массу, участками перекристаллизованную. Лавобрекий содержит две малоносные (1,5—2 м) пачки тонкостратифицированных пород, состоящих из кристалло-пепловых туфов, туфогенных песчаников, алевролитов, находящихся в юником чередовании. Встречаются малоносные (2—5 см) углисто-глинистые прослойки, переполненные обугленным растительным детритусом, среди которого различаются фрагментарные остатки покрытосеменных и хвойных.

2. Фельзиты серо-зеленоватого цвета, участками эпидотизированные. Мощность 10 м.

3. Вънне залегает толща кварцевых порфиров и их туфов, пород светло-серых, плотных, слегка окраиненных, с редкими идиоморфными вкраплениниками кварца, полевых шпатов и бабблокамами фельзитов размером от 1 до 4 см. Очень редко, спорадически, встречаются прослои стоячих кристаллито-кластических туфов мощностью 1—1,5 м. Кверху в кварцевых порфирах увеличивается количество вкраплениников кварца и полевого шпата. Кристаллы кварца имеют сильно оплавленные и корродированые грани, часто разбиты трещинками. Плагиоклаз и полевой шпат в виде короткотризматических и таблитчатых, иногда стекла сплавленных кристаллов встречаются primarily в разных количествах. Плагиоклаз — это преимущественно олигоклаз № 24—25, скапа серпентинизированный. Калиевый полевой шпат — перлит скапа замутнен пелитовым веществом.

ством. В основной массе различаются стекловатые, сферолитовые, микрозернистые, фельзитовые и микротойкилитовые структуры. Мощность 300—400 м.

4. Еще выше следует толща мощностью 450—500 м, состоящая в основном из агломератовых лав дацитов, фельзитов с резко подчиненными пачками пирокластических пород и агломератовых лав андезитов.

Дациты — зеленовато-серые, обычно флюидальной текстуры породы с вкраплениниками светлых плагиоклазов — андезина № 38, реже шестоватых кристаллов опалитизированной роговой обманки и моноклинного пироксена с углом уласания $c:Ng=28^\circ$. Пироксен обычно замещен биотитом и вторичной волокнистой роговой обманкой. Основная масса микропойкилитовой структуры содержит частые игольчатые кристаллы апатита и магнетита.

Андезиты — темно-серые массивные породы с редкими выделениями полевых шпатов, роговой обманки и пироксено, с микролитовой структурой основной массы.

Агломератовые лавы дацита — обычно зеленовато-светло-серые пятнистые породы с большим количеством обломков почти белых кварцевых порфиров и зеленовато-серых сиеневых дацитов. Размер обломков от 2—3 см до 15—20 см. Они погружены в основную массу фельзитовой и микрозернистой структуры, сильно оквартированную. Агломератовые лавы содержат пачки тонкостратифицированных туфов разнообразных по структурным особенностям. Мощность отдельных пластов эффузивов колеблется от 3 до 20 м, агломератовых лав — от 20 до 50 м.

В верхней части толщи среди грубых туфов и агломератовых дацитов появляются сравнительно малоносные (3—3,5 м) прослои туфоконгломератов, тонкостоистых пепловых и кристаллолитокластических туфов, окремнелых туфов светло-серого и красновато-серого цвета и черных аргиллитов. Мощность таких пачек туфогенно-осадочных пород достигает 40—50 м.

Кристаллолитокластические туфы — грубообломочные породы псевофитовой структуры. Сложены преимущественно угловатыми обломками полевых шпатов (плагиоклаз — андезин № 40), кварца, реже пироксена, роговой обманки и биотита. Многочисленны обломки пород андезитов и дацитов. Цементирующая глинисто-пепловая основная масса часто хлоритизирована.

Кристаллолитокластические туфы псамитовой структуры сложены неправильными остроугольными, реже угловатоокатанными, обломками размером от 0,1—0,2 до 0,5 м квадра и полевых шпатов, единичных листочков биотита и мусковита, зерен пироксена. Обломки очень редки и представлены преимущественно измельченными андезитами и фельзитами. Многие зерна минералов оскольчаты и имеют ложнообразную и серповид-

ную форму. В цементирующей кремнисто-железистой массе наблюдаются пепловые частицы, в том числе и вулканическое стекло. В тонкозернистых тонкослойных туфах и туфогенных алевролитах обнаружены отпечатки многочисленных крупнопластных покрытосеменных, в том числе *Viburnum* sp., *Trocholites* sp., *Platylis* sp. и другие, не определимые даже до рода. Найдены также обрывки хвойных *Metasequoia disticha* (Негг) *Miki*, *Cephalotaxopsis heterophylla* *Hollie*, *Ginkgo adiantoides* *Ung.* и папоротник *Pterospermites tschernjuschevae* Копст. (определение В. А. Вахрамеева). Эта флора указывает на верхнечемалковой, сенонский возраст пород. Учитывая стратиграфическое положение свиты, возраст ее образования может быть датирован как верхнесенонский.

5. Завершает разрез свиты толща агломератовых лав мощностью 350—400 м. Это пестролиствные породы с зеленовато-серой цементирующей основной массой, в которую включены многочисленные обломки сиреневых и темно-серых андезитов, иногда миндалекамених. Миндалины в последних выполнены халцедоном, хлоритом и фисташково-зеленым эпилитом. Суммарная мощность татаркинской свиты 1250—1500 м.

Датский ярус

Маломихайловская свита (*Grum*)

Названа свита по однотипному поселку на правом берегу р. Амур, в районе которого был описан наиболее дробный разрез свиты, хорошо флюристически характеризованный. Она согласно залегает на татаркинской свите. Образования маломихайловской свиты развиты в северной части листа по правобережью р. Амур. Видимо, они же выступают и в вороньях р. Мы. В этой свите могут быть выделены (снизу):

1. Тубобрекции дацита — зеленовато-серые и желтовато-серые породы, сложенные угловатыми, иногда слабокатанными обломками пород, различных по размерам (от 2—3 до 15—50 см) с окременной скрытокристаллической связующей массой, содержащей значительную примесь пеплового материала. Среди обломков преобладают измененные плагиопорфириты и андезиты, более редки кварцевые перфиды, литокластические туфы, обломки тонкозернистых слоистых туфов кислого состава, темных алевролитов и единичных обломков гранодиорита. Характерно для этих пород обилие остатков обугленной древесины и их отпечатков. Плотность 206 л.
2. Выше следуют агломератовые лавы андезита мощностью 80 м.
3. Еще выше залегает пачка тонкостратифицированных пород мощностью около 40 м, состоящая из пепловых, окременных,

кристаллокластических и кристаллолитокластических туфов дацита. В составе последних существенную роль играют обломки плагиоклаза (олигоклаз — андезита № 26—28), калиевого полевого шпата (пергита), реже кварца и лиственитов биотита. Среди обломков пород преобладают кислые эфузивы, более редки измененные андезиты, кремнистые и глинистые станины. Обломки кислых эфузивов обладают фельзитовой, криптокристаллической и микропоинкелитовой структурой основной массы, альбитофиры и андезиты — микролитовой. Цементирующая связующая масса глинисто-пепловая, частично хлоритизирована. Кристаллолитокластические туфы обладают неравномернозернистой псаммитовой структурой. Состоят они из угловатых зерен размером от 0,02 до 3—4 ми плагиоклаза, реже кварца и лиственитов биотита. Инердка встречаются обломки андезита и дацита размером от 0,08 до 1—2 ми с микролитовой и гиалопилитовой структурой основной массы. По составу цемент пеплово-глинистый, обогащенный па отдельных участках гидроокислами железа. В туфах этой пачки В. Г. Плахотников в районе с. Большемихайловское найдены *Equisetum* sp., *Rhagmites alascana* Негг, *Metasequoia* sp., *Rorulus* sp. (определения Р. З. Генкиной). Эта флора указывает на верхнечемалковой возраст вмещающих пород.

4. Грубобломочные литокластические туфы андезито-дацита с редкими пластами андезитов мощностью 20—30 м. Последние зеленовато-темно-серой окраски, плотные, иногда миндалекаминки размером 1—4 ми. Основная масса в них имеет миндалекамитовую и микрозернистую структуру.

В районе оз. Кизым-Шту, на северном его берегу вскрывается пачка тонкостратифицированных зеленовато-серых туфов — пепловых, кристаллолитокластических и литокластических, а также черных туфитов. Они заключают остатки хвощей и их клубеньков, фрагментарные отпечатки листьев покрытосеменных и их плодики. Мощность отдельных прослоев изменяется от 0,05 до 0,5 м. Эта пачка туфов, видимо, тождественна туфам, обнажающимся у с. Большемихайловское. Она также покрыта и подстилается андезитами и их агломератовыми лавами. По всей вероятности, к этой же части разреза свита относится пачка тонкостратифицированных пород, состоящая из углисто-глинистых аргиллитов с линзовидными прослоечками углей, темных туфитов и светлых тонкозернистых туфов, опицаных Б. М. Штемпелем в районе Зиновьевской протоки.

В породах верхней части маломихайловской свиты, выстипающих непосредственно за северной рамкой рассматриваемого листа, в правобережной части р. Амура (селения Пад и Маломихайловка), в простоях тонких светло-серых пепловых туфов и желтовато-белых литокристаллолитокластических туфов найдены растительные остатки: *Onclea sensibilis fossilis* Newb., *Equi-*

Setites arcticum Неер, *Glyptostrobus europaeus* (Бронтон)
Неер, *Metasequoia disticha* (Неер) Мики, *Trochodendroides*
arctica (Неер) Бегг, *Zizyphus* sp., *Netumbites* sp.

В. А. Вахрамеев заключает, что подобная ассоциация растений, состоящая из преобладающих *Metasequoia disticha*, *Glyptostrobus europaeus* и *Trochodendroides arctica* с примесью других форм, характеризует паганскую свиту Алугра. Флороносные слои Цагаяна были параллелизованы А. Н. Криштофовичем с слоями Лэнс-Ларами Северной Америки и отнесены им к датскому ярусу. В приводимом разрезе наиболее хорошо сохранившийся типичный паганский комплекс найден именно в верхней части маломихайловской свиты, у пос. Мало-Михайловка. Поэтому следует отнести эту свиту к самым верхам сенона — датскому ярусу. В. А. Вахрамеев считает даже возможным относить маломихайловскую свиту в таком объеме, конечно, не без элемента условности, только к датским отложениям. В этом случае залегающую ниже татаркинскую свиту следует относить к маастрихту. Видимая мощность маломихайловской свиты составляет 340—350 м.

НЕОГЕНОВАЯ СИСТЕМА

Кизинская свита (Nks)

Образования кизинской свиты были детально изучены и впервые выделены В. Г. Плахотником в 1955 г. в районе оз. Кизи. Это наиболее широко распространенные на территории листа породы, занимающие обширные площади (до 50%) в южной и центральной его части.

В нижней части свиты мощностью около 200 м залегают базальты серые, темно-серые до черных, плотные и пористые средними прослойками туфоконгломератов. Они образуют небольшие покровы в наиболее пологих участках описываемой территории, выполняя долины рек Мы, Тымы, Пото, Гольби. Это обычно резко порфировые породы с гиалопилитовой и витрофировой структурой основной массы. Порфировые вкрапленники представлены кристаллами плагиоклаза и сливина, размером от 0,2 до 2,5 мм. По составу плагиоклаз отвечает лабрадору № 59—60. Оливин встречается в виде резко идиоморфных кристаллов размером от 0,3 до 1,0 мм, по которым развивается красновато-бурый иддингит, иногда почти целиком замещающий. Базальты пористые, с порами, выполнены пластичными и мелкозернистыми скоплениями цеолитов.

Стратиграфический выше получают развитие базальты и андезито-базальты серые, темно-серые, коричневатые и красновато-бурые, микрокристаллические, плотные, реже пузырчатые. Мощность этой части свиты 400 м. Андезито-базальты и базальты находятся в довольно частом чередовании и связаны друг с другом

гом серий взаимопереходов. Среди них наблюдаются пластовые выдержаные залежи крупнокристаллических долеритов. Наиболее широкое распространением пользуются оливиновые базальты с интэрсегментальной и микродиабазовой структурой основной массы. Порфировые выделения представлены плагиоклазом, по составу лабрадором № 57—58, оливином и реже моноклинным приоксеном. Основная масса содержит в большом количестве мелкие иголочки и кристаллики апатита.

В андезито-базальтах почти отсутствует оливин, а вкрашенники темноцветных представлены преимущественно авигитом и гиперстеном. Микролиты плагиоклаза в основной массе по составу отвечают андезин — лабрадору № 46—50. Почти полное отсутствие в свите пирокластических пород (туфов), особенно в верхней ее части, свидетельствует, всего вероятнее, о трещинном типе излияний. Суммарная мощность базальтов кизинской свиты 600 м.

Взаимоотношение базальтов кизинской свиты с подстилающими породами было установлено В. Г. Плахотником и другими исследователями на смежных территориях, расположенных к северу и к югу от описываемого листа. Севернее, в районе мыса Начбах базальты залегают на олигоценовых пресноводных отложениях; к югу, в бассейне рек Мульта и Ботчи они ложатся на олигоцен-миоценовые пресноводно-озерные отложения, переклаивающиеся в районе оз. Толи с туфами липаритов. Таким образом, возраст кизинской свиты условно может быть датирован как неогеновый. Вероятно, образования этой свиты следуют относить к верхнему миоцену или, возможно, даже к плиоцену, если учесть возраст подстилающих отложений и то время, которое потребовалось для размыва этих пород.

Андезиты (aN)

Андезиты распространены преимущественно в юго-восточной части листа, в районе гор Белая и Конус, где они слагают куполовидные и островерхие вершины, резко возвышающие над базальтовыми плато. Здесь различаются пироксеновые и рогово-блочные андезиты с преобладанием первых. Это обычно светло-серые, темно-серые до черных плотные порфировые иногда афировые породы, часто с плитчатой отдельностью. Вкрапленники представлены плагиоклазом, моноклинным и ромбическим приоксеном, изредка роговой обманкой. Плагиоклаз — андезин № 40—45 встречается в виде короткопризматических, чаще таблитчатых зерен размером от 0,3 до 1,5 мм. Отдельные его зерна несут следы оплавления. Моноклинный приоксен (авигит) представлен вытянутыми и изометрическими кристаллами размером до 1 мм, иногда с опакитовой оторочкой. Реже встречается гиперстен в виде резко идиоморфных призматических зерен,

содержания иногда включения рудного минерала. Остовная масса имеет микролитовую или гиалопилитовую структуру.

В роговообманковых андезитах среди вкраплений пребывают птилоклаз и роговая обманка. Птилоклаз — андезин размером до 1,5 м., часто со следами сплавления. Роговая обманка содержится в виде идиоморфных и шестоватых зерен размером до 2 м., преокристаллизованных в красновато-бурых топах, иногда с опалитовой оторочкой. Основная масса имеет микролитовую структуру. Толщина толщи андезитов около 300 л.

Если учесть, что первые во времени между излиянием лав кизинской свиты и формированием андезитов были весьма неизвестны, то последние, как и базальты, должны быть также отнесены к неогеновому возрасту.

Плиоцен и нижний отдел четвертичной системы ($N_2 + Q_1$)

Осадочные отложения этого возраста на территории листа были впервые выделены и флористически обоснованы геологом Е. М. Смеховым (1935г) в районе с. Черный Яр, на правом берегу р. Амур. К отложениям этого же возраста отнесены галечники и глины, слагающие низменную северную часть берега оз. Улья и цоколь III надпойменной террасы в районе с. Богословское. У с. Черный Яр, если судить по материалам геолога В. А. Кузнецова (1936г), они представлены слоями белыми глиниами. В верхней части последних был вскрыт пласт белых диатомовых глин с раковистым изломом. По плоскостям настолий они несут палееты гидроокислов железа. Это сильно торицкие богатые аморфным кремнеземом легкие однородные породы, состоящие из скоплений створок диатомовых водорослей преимущественно *Melosira granulata*. Следует оговориться, что было время, когда эти отложения по обнаруженному в них растительным остаткам, среди которых А. Н. Криштофович определил *Glyptostrobus siquensis* Н. е. г., относились к палеогену. Мощность пластика около 3,5 м.

В 1954 г. Я. М. Файнен из диатомовых глин были отобраны образцы на створово-пыльцевые и диатомовые анализы. В. И. Гричук, производивший створово-пыльцевые анализы из этих образцов, выявил довольно высокое содержание в диатомах пыльцы и спор. Комплекс их довольно разнообразен и указывает на географические условия, близкие к современным (несколько более сухие). От современной растительности района этот комплекс по своему составу отличается присутствием пыльцы сосен — секции *Strobilus*, а также таких покрытосеменных, как *Pterocarya* и *Juglans* sp. Наличие этих форм позволяет говорить о плиоцене.

Сточечном возрасте диатомовых глин. Диатомовый анализ был произведен А. П. Жузе. Согласно его определению, в диатомовых глинах породообразующими

являются водоросли рода *Melosira* — пресноводные, озерные и, по-видимому, планктонные. Представители этого рода диатомовых водорослей наиболее характерны для древних озерных водоемов Дальнего Востока и Сибири. Отложения, заключающие эти водоросли, по мнению А. П. Жузе, могут быть отнесены к верхнему плиоцену и нижнечетвертичному возрасту. Таким образом, период формирования диатомовых глин захватывает конец плиоцена и начало четвертичного времени.

На берегу оз. Улья состав отложений не сколько изменяется: это преимущественно голубовато-желтовато-серые глины и рыхлые галечники. Мощность отложений не превышает 20 м и залегающие на однаковых гипсометрических уровнях, были встречены севернее исследуемого листа в бассейнах рек Сивук, Ул и Джаппи, где на основании установленных спо-

рово-пыльцевых спектров они были отнесены к плиоцену или, возможно, к нижнечетвертичному возрасту. По данным же диатомовых анализов возраст этих отложений не может быть датирован более точно, чем четвертичный.

В районе с. Богословское был описан разрез отложений, слагающих цоколь III надпойменной террасы. Рыхлая толща мощностью около 10 м слагается образованиями, по всей видимости, озерного генезиса: тонкозернистыми песками и синеватыми иловатыми глинями. В верхней их части обнаружены споры и пыльца довольно богатой в видовом отношении флоры с содержанием теплолюбивых широколиственных пород до 20%. По определению В. П. Гричука, присутствие в ней пыльцы *Taxus*, *Sequoia*, *Pterocarya*, *Juglans* (вида, отличающегося от *Juglans mandshurica*), сильно отличает ее от современной флоры района. Наличие пыльцы *Sequoia* типичного плиоценового возраста позволяет отнести отложения этой толщи к плиоцену или к нижнечетвертичному возрасту. Однако В. П. Гричук допускает возможность нахождения пыльцы экзотических родов в перегодженном состоянии. Поэтому совместное нахождение микроспор рукоювавшей группы растений не исключает и среднечетвертичный возраст отложений, причем низы разреза на глубине 8—10 м можно отнести к низам среднего отела антропогена, а верхнюю часть (1—7 м) — к верхам.

Мощность нерасчлененных плиоценово-нижнечетвертичных отложений на территории листа не была точно установлена. Если же судить по данным буровой разведки в устьевой части р. Амгунь, где скважина прошла 138 м в толще рыхлых галечников и не вышла из нее, то мощность этих отложений должна быть значительной.

По всей видимости, толща отложений, лежащих стратиграфически ниже 40- или 50-метрового уровня, включает не только осадки нижнечетвертичного отела, но и образования плиоценового возраста.

ЧЕТВЕРТИЧНАЯ СИСТЕМА

Четвертичные отложения распространены повсеместно и почти сплошным маломощным чехлом покрывают все более древние образования. Ниже приводится описание генетических типов в стратиграфической последовательности от древних к молодым.

Средний и верхний отдеи (Q_{2+3})

К среднему и верхнему отделам относятся озерно-аллювиальные и аллювиальные отложения III и II надпойменных террас. Озерно-аллювиальные отложения встречаются только в низовых рек Тыма и Мя, где они залегают под маломощным покровом торфянников. Представлены отложениями пловатыми суглинками, супесями, реже песками с галькой.

Третья надпойменная щебольшая терраса развита в долине р. Амур, на участках между с. Богоявленское и с. Гаваш, с. Красный Яр и с. Кольцем, у сел. Большие-Михайловское и Черный Яр и условно выделена у с. Тальники. У сел Богоявленское и Черный Яр щеболь ее слагают рыхлые и плотные озерные отложения глинистопесчанового и нижнеплейстоценового возраста. Аллювиальные отложения представлены супесью и разнозернистыми песками с галькой и гравием. У с. Большие-Михайловское щеболь этой террасы сложен коренными скальными породами. Аллювиальные отложения представлены суглинком с галькой, гравием и валунами. Количество грубообломочного материала не превышает 20—30%. Мощность аллювиальных отложений III террасы не превышает у с. Богоявленское 2,5—3,0 м, а у с. Большие-Михайловское — 4,0—6,0 м. Недавняя находка *Elephas primigenius* В. Л. Ч. в аналогичной террасе у г. Комсомольска позволяет отнести эти отложения к низам верхнечетвертичного отдела.

Отложения II надпойменной террасы развиты по долинам рек Амур, Пото, Тыма, Мы, Кривая Кенка. Терраса щебольная, местами аккумулятивная. В составе отложений террасы преобладают суглинки, супеси, реже встречаются пески и глины с включениями гравийно-галечникового материала.

На правом берегу р. Тыма разрез аллювиальных отложений II надпойменной аккумулятивной террасы следующий (сверху):

1. Супесь темно-бурая, компактная, влажная с остатками корней растений 0,1 м

2. Суглинок желто-бурый, средний, изредка встречается галька размером до 0,5—2,0 см 0,2 "

3. Супесь бурая с включениями до 25—30% хорошо окапанной гальки, размером от 2 до 20 см; с глубиной окапанность гальки усиливается 1,1 "

4. Галечники и валуны с преобладанием песка бурого, крупнозернистого. Б основании террасы размеры валунов достигают 40—50 см 2,9 "

В долине р. Амур II надпойменная терраса сохранилась в районах сел Черный Яр, Покровка, Казанка и у с. Красный

р. У с. Красный Яр разрез аллювиальных отложений II надпойменной террасы следующий (сверху):

1. Супесь серовато-желтая с корнями растений 0,8 м

2. Песок мелкозернистый коричневато-желтый, кварцево-полевошпатовый, хорошо отсортированный 3,2 "

3. Песок тонкозернистый, желтый, плотный с прослойками темно-желтого песка 4,0 "

Возможно, что нижняя часть отложений этой террасы озерного происхождения. Для этих отложений устанавливается промежуточный возраст между фаунистически обоснованным возрастом отложений III террасы (низы верхнечетвертичного отела) и возрастом I террасы (современный отел).

Современный отдел (Q_4)

Отложения I надпойменной террасы покрывают днища долин большинства рек и ручьев. Первая надпойменная терраса во всех долинах аккумулятивная и сложена супесями, суглинками с включениями гальки и гравия, песками и галечниками с редкими валунами.

В нижней части разреза отложений террасы преобладают пески, галечники и валуны. Характер перехода от более грубого материала к более тонкому постепенный. Галька и валуны характеризуются средней и хорошей окатанностью. Мощность аллювиальных отложений I надпойменной террасы 4—5 м. Отложения поймы протягиваются узкой (до 50—100 м) пологой вдоль русел мелких рек. Пойма рек Хилка, Правая Гера, Пото, Тыма, Мы достигает ширины 400 м. В долинах малых рек струкции поймы представлены супесями, разнозернистыми песками, галечниками с гравием и валунами, перекрытыми маломощным слоем илов и илистых песков. Отложения поймы р. Амур состоят из песков тонкозернистых, илистых, с прессиями пловатых суглинков и глин. У пос. Ухта скважина на глубину 15 м в пойме вскрыта однородная толща серых тонкозернистых илистых песков. Предполагаемая мощность пойменных отложений р. Амур 30—40 м, малых рек 2—6 м.

Элювиальные, делювиальные, гравигляциональные и другие отложения имеют весьма незначительную мощность (0,3—0,5 м) и представлены суглинками и шебенисто-глыбовым материалом.

ИНТРУЗИВНЫЕ ОБРАЗОВАНИЯ

Среди интрузивных пород, развитых на территории листа, выделяются следующие разновидности: биотитовые граниты, гранит-аллиты, лейкократовые граниты, биотитово-роговобобманитовые гранодиориты, кварцевые монцонитовые диориты, кварцевые монцониты, габбро-монцониты. Эти породы слагают несколько интрузивных массивов площадью от 30 до 150 км², расположенных преимущественно в северной части описываемого

района. Наиболее значительными из них являются Утинская и Тучкинская интрузии, выступающие в левобережной части р. Амур и представляющие, по-видимому, единий крупный массив, еще не полностью вскрытый зрозней. Ряд мелких крупных интрузивных тел расположены на правобережье р. Амур, в пределах Гера-Тымского горного массива. Выступают они также и в виде отдельных штоков в верховье р. Левая Гера, в средней части долины р. Тыма и вблизи г. Лысая (Пахта).

РАННЕПАЛЕОГЕННЫЕ ГРАНITOИДЫ УТИНСКИЙ И ТУЧКИНСКИЙ МАССИВЫ БИОТИТОВЫХ ГРАНИТОВ (Прг)

Обнажаются эти породы в левобережной части р. Амур, в бассейнах рек Бол. Тучка и Уга. Утинский массив площадью до 25 км вытянут в широтном направлении и имеет в плане неправильно-ovalную форму. Утинский массив площадью до 150 км² вытянут также в широтном направлении и имеет в плане форму широкого полумесяца с выпуклостью, обращенной к току. Еребольшой интрузивный массив, расположенный в северной части хр. Гидалы, по своему вещественному составу и строению такой же, что и называемые выше крупные интрузии. Вместо щитами массивы породами являются терригенные и вулканогенно-осадочные образования верхнего мела. Плоскости контактов интрузивных тел, если судить по окаймляющей их широкой полосе (1,5—2 км) контактово измененных пород, довольно пологие, хотя в единичных случаях в береговых обрывах р. Амур наблюдаются крутые контакты. В меловых породах, превращенных волнистом контакта с интрузиями в биотитово-слюдистые роговники, наблюдалась тонкая инъекция гранитондов, обогащенных биотитом.

В складках Тучкинского и Утинского массивов в основном принимают участие неравномернозернистые биотитовые граниты светло-серого и розового цвета. В периферических частях эти интрузивные тела слагаются мелкозернистыми аplitоидами гранитами и гранит-порфирами.

Граниты — светло-серые породы, преимущественно неравномернозернистые, порфировидные с крупными выделениями полевых шпатов, менее среднезернистые и мелкозернистые. Структуры гранитов в порядке убывания — порфировидная, гигантоморфнозернистая, реже микролемматитовая, а на отдельных участках аллитоморфнозернистая. Состоит они из плагиоклаза (20—30%), иногда до 10%), калиевого полевого шпата (30—40%), биотита и роговой обманки (до 3—5, редко до 10%). Плагиоклаз — олигоклаз — андезин № 27—30 образует промышленные кристаллы размером до 1,5—3, иногда до 5,5 см. Калиевый полевой шпат имеет отдельные кристаллы размером до 1,5—2,5 см. Калиевый полевой шпат наблюдается в виде ксеноморфных слегка пелитизированных зерен размером до 0,5—0,7 мм с многочисленными включениями пирита ленточного, ветвистого или шахматного строения. Кварц присутствует в виде ксеноморфных или изометрических зерен размером 0,5—1,0 мм, иногда с первоначальным угласанием. Биотит содержится в незначительных количествах. Он встречается в виде идиоморфных зелено-вато-бурых, реже почти бесцветных листочеков и ксеноморфных или радиально-лучистых выделений между зернами кварца и калиевого полевого шпата. Из акцессорных минералов присутствуют апатит, сфен, орцит и рудный.

Ниже приводится анализ гранитондов Тучкинского массива (в %): SiO₂ 72,54; TiO₂ 0,17; Al₂O₃ 14,53; Fe₂O₃ 0,59; FeO 1,63; MnO 0,06; MgO 0,57; CaO 1,23; Na₂O 4,26; K₂O 3,66; H₂O 0,04; P₂O₅ 0,08.

Параметры по Заваринскому: S—72,7; a—14,1; c—1,4; b—4,8; Q+29,8; $\frac{a}{c}$ — 10,1; a—37,0; n—19,2; f—43,8; n—64,0; f—0,16; q—10,9.

На основании приведенных данных, описываемые граниты относятся к типу пород пересыщенных глиноземом, кремнеземом (класс 2) и щелочами (группа 3). По числовым характеристикам они отличаются от среднего состава биотитовых гранитов, по Дэли, слегка пониженным содержанием темноцветных (b) и большим содержанием щелочей.

С микролертизовыми вrostками преимущественно ленточного, реже шахматного строения. Кварц присутствует в виде ксеноморфных или почти изометрических зерен размером от 1,5 до 4,0 мк со слабоволнистым угласанием. Биотит встречается в виде идиоморфных листочеков размером от 0,5—1,5 до 2,5 мк. Он резко плеохромирует от темно-бурового до светло-желтого цвета. В гранитах с микролегматитовой структурой имеются две генерации биотита. Первая представлена идиоморфными листочками и пластинками размером до 0,5—1,0 мк, часто с включениями тонкозернистых агрегатов сфена, вторая — тонкочешуйчатыми скоплениями зеленовато-бурового цвета, иногда с красноватым оттенком. Роговая обманка буровато-зеленая, представлена идиоморфными или неправильной формы зернами размером до 1,0—2,0 мк. Плеохромизм резкий от ярко-зеленого (Ng) до бледно-желтовато-зеленого (Np) цвета, $c:Ng=12-18^\circ$, иногда замещается хлоритом. Аксессорные минералы представлены сфером цирконом, апатитом, орбитом и рудным минералом.

Гранит-аплиты — светло-серые с розоватым или кремовым оттенком породы, мелкокристаллические очень плотные. В сложении их принимают участие плагиоклаз (13—20%), калиевый полевой шпат (30—50%), кварц (35—40%) и сфеин. Редкие листочки биотита. Структура породы аллаторомфическая. Плагиоклаз — олигоклаз № 14—25 встречается в виде призматических или ксеноморфных зерен размером 0,5—1,0 мк. Калиевый полевой шпат наблюдается в виде ксеноморфных зерен, слегка пелитизированных зерен размером до 0,5—0,7 мм с многочисленными включениями пирита ленточного, ветвистого или шахматного строения. Кварц присутствует в виде ксеноморфных или изометрических зерен размером 0,5—1,0 мм, иногда с первоначальным угласанием. Биотит содержится в незначительных количествах. Он встречается в виде идиоморфных зелено-вато-бурых, реже почти бесцветных листочеков и ксеноморфных или радиально-лучистых выделений между зернами кварца и калиевого полевого шпата. Из акцессорных минералов присутствуют апатит, сфен, орцит и рудный.

ГРУППА ГРАНДОИДНЫХ ИНТРУЗИЙ ПРАВОБЕРЕЖНОЙ ЧАСТИ Р. АМУРА

Большинство этих интрузий расположено на междуречье Гера — Тыма. Наиболее крупный интрузивный массив площадью около 35 км² вскрывается в верховьях р. Тыма. Он имеет в плане овальную форму и ориентирован в северо-северо-западном направлении. Сложен лейкократовыми гранитами и гранодиоритами, а периферические части — гранодиорит-порфирами или диорит-порфирами. Следующий за ним по величине интрузивный массив площадью 30—32 км² обнажается в районе истоков р. Правая Гера. Он имеет в плане округленно-прямоугольную форму и ориентирован в северо-восточном направлении. Сложен преимущественно гибридными породами — кварцевыми монцонитами, кварцевыми габбро-монцонитами и переходными к гранодиоритам и диоритам разностями пород. Севернее выступает небольшое интрузивное тело (шток) овальной в плане формы площадью около 3 км². В сложении его принимают участие сравнительно однородные блотитово-роговообманковые гранодиориты. Западнее истоков р. Правая Гера вскрывается такой же шток.

Наиболее северная интрузия площадью около 10 км² расположена в верхнем течении р. Левая Гера. Пространственно она несколько обособлена от группы интрузий рассмотренных ранее. Сложена в основном блотитово-роговообманковыми гранодиоритами и в меньшей степени — гибридными породами.

Вмещающими интрузии породами являются нормально-осадочные и осадочно-вулканогенные образования верхнего мела, которые интенсивно метаморфизованы вблизи контактов с массивами. Ширина зоны контакто-измененных пород составляет 1,0—1,5 км, что указывает на сравнительно пологие плоскости контактов интрузивных тел. Не исключена возможность, что перечисленные интрузивные тела представляют собой апикальные части единого крупного батолита, не полностью вскрытого эрозией.

Кварцевые монцониты ($\text{v}_\text{s} \text{ Po}$) — розовато-серые породы, среднекристаллические, равномернозернистые, реже порфировидные. Структура главным образом монконитовая, на отдельных участках микрепегматитовая или гипноморфнозернистая. В составе их принимают участие плагиоклазы (20—30%), калиевый полевой шпат (30—40%), кварц (5—15%), пироксен, роговая обманка и биотит (15—20%).

Плагиоклаз — андезин № 38—42 и андезин — лабрадор № 47—53 встречаются в виде пломорфных таблитчатых и призматических зерен размером от 0,5—1,0 до 2,5—3,0 мм, слабо сернистых и кирзований и пелитизированных. Калиевый полевой шпат представлен ксеноморфными сильно пелитизированными зернами размером до 1,0—3,0 мм, образующими оторочки вокруг кристаллов плагиоклаза. Кварц содержится в небольшом коли-

честве в виде неправильных зерен размером 0,5—1,5 мм. Часто кварц находится в микролититовом срастании с калиевым полевым шпатом. Пироксен моноклинный наблюдается в виде неправильных зерен размером от 0,5 до 1,5 мм, слабо зеленоватого цвета, $c : Ng = 45^\circ$. Роговая обманка встречается в виде удлиненно-шестоватых зерен размером от 0,5 до 1,2 мм, окрашенных в бледно-зеленый или густо-зеленый цвет с резким плеохромом; $c : Ng$ меняется от 12—16° до 21°. Биотит присутствует в виде мелколистоватых агрегатов или редких мелких листочек и пластинок размером 1,0—1,5 мм темно-бурого цвета, сильно хлоритизированных. Среди акцессорных минералов различаются пироксн, апатит, сфен и рудный.

Анализ кварцевых монцонитов интрузивного массива, обнаруживающегося в верховьях р. Правая Гера, следующий (в %): $\text{SiO}_2 = 62,84$; $\text{TiO}_2 = 0,73$; $\text{Al}_2\text{O}_3 = 16,04$; $\text{FeO} = 2,42$; $\text{MnO} = 0,10$; $\text{MgO} = 3,07$; $\text{CaO} = 3,80$; $\text{Na}_2\text{O} = 2,81$; $\text{K}_2\text{O} = 4,04$; $\text{H}_2\text{O} = 0,21$; $\text{P}_2\text{O}_5 = 0,22$.

Параметры по Заварницкому: $S = 72,8$; $a = 12,0$; $c = 4,7$; $b = 10,6$; $Q + 16,8$; $\frac{a}{c} = 2,6$; $c' = 3,2$; $m' = 49,2$; $f = 47,7$; $n = 51,7$; $t = 0,85$; $\Phi = 19,4$.

Судя по этим данным, кварцевые монцониты относятся к типу пород, пересыщенных аллюминием и кремнеземом (класс 2), но белых шелочами (группа 5). По числовым характеристикам они отличаются от среднего состава таких же пород, по Дэли, большим количеством темновioletовых.

Кварцевые диорит-монцониты ($\text{v}_\text{s} \text{ Pg}$) — серые или зеленовато-серые породы средне- или мелкокристаллические, иногда неравномернозернистые. Структура породы переходная от глиниоморфнозернистой к монцонитовой. Отличаются от вышеописанных кварцевых монцонитов большим содержанием плагиоклаза (45—50%) и меньшим содержанием калиевого полевого шпата (20%).

Кварцевые габбро-монцониты ($\text{v}_\text{s} \text{ Pg}$) — темно-серые с зеленоватым оттенком породы средне- или крупнокристаллические с монцонитовой структурой. Состоят они из плагиоклаза (30—40%), калиевого полевого шпата (30%), кварца (5—10%), пироксена (10%) и биотита.

Плагиоклаз — андезин-лабрадор № 46—50 представлен идиоморфными призматическими зернами. Калиевый полевой шпат в виде крупных ксеноморфных сильно пелитизированных зерен окаймляет кристаллы плагиоклаза. Кварц в виде белых неправильных зерен размером от 0,3 до 1,0 мм часто волнисто угласает. Пироксен моноклинный наблюдается в виде пломорфных зерен с хорошо выраженной стойностью; $c : Ng = 45^\circ$. Биотит в виде идиоморфных листочек размером от 0,5 до 1,0 мм обладает резким плеохромом в желтоватых и красновато-бурых тонах. Из акцессорных отмечается апатит и рудный минерал.

Гранодиориты биотитово-роговообманковые (уф Pg) — зеленовато-серые породы средне- или мелкокристаллические, иногда порфировидные. Структура гипидиоморфозернистая, участками микролегматитовая или монцонитовая, реже порфириодная. Состав они из плагиоклаза (30—45%), калиевого полевого шпата (20—35%), кварца (15—25%), биотита, пироксена и роговой обманки (15—20%).

Плагиоклаз — андезин № 34—39 встречается в виде индоморфных призматических зерен, по периферии которых наблюдаются тонкие мирамекитовые вrostки. Калиевый полевой шпат образует ксеноморфные, реже пленоморфные сильно пелитизированные зерна; изредка в них отмечаются микропертитовые прорастания. Кварц представлен неправильными зернами, вы полняющими промежутки между полевыми шпатами и темноватыми, иногда находится в микролегматитовом срастании с калиевым полевым шпатом. Гианксен моноклинный: $c:N_g=57^\circ$; почти нацело замещается желтовато-зеленоватой роговой обманкой. Роговая обманка выполняет промежутки между плагиоклазом и калиевым полевым шпатом. Биотит густо-бурового цвета встречается в виде крупных листочек размером до 1,5—2,0 мм или образует скопления из мелких листочек и пластинок размером до 0,5 мм. Аксессорные минералы представлены сфеном, цирконом, апатитом, рудным и ортитом.

Ниже приводится анализ биотитово-роговообманковых гранодиоритов (%): $\text{SiO}_2=66,40$; $\text{TiO}_2=0,61$; $\text{Al}_2\text{O}_3=15,68$; $\text{Fe}_2\text{O}_3=1,62$; $\text{FeO}=1,14$; $\text{MnO}=0,10$; $\text{MgO}=0,44$; $\text{CaO}=0,10$; $\text{Na}_2\text{O}=3,95$; $\text{K}_2\text{O}=4,23$; $\text{H}_2\text{O}=0,68$; $\text{P}_2\text{O}_5=0,09$.

Параметры по Заваринскому: $S=76,8$; $a=15,0$; $c=0,13$; $b=8,0$;

$$Q+23,6; \frac{a}{c}=11,5; c^1=60,7; m^1=9,0; f^1=30,3; n=55,6; t=3,42; \varphi=9,6.$$

Если судить по этим данным, то граниты относятся к типу пород, пересыщенных алюминием и кремнеземом (класс 2), а также богатых шелочами (группа 3). По числовым характеристикам данные граниты отличаются от среднего состава гранитов, по Дэлли, несколько большим содержанием темноватых и большим содержанием шелочей.

На основании изучения петрографического состава интрузивных пород, аксессорных минералов в них и петрохимических особенностей выделяются три типа интрузий. Интрузии первого типа, развитые по левобережью р. Амур, характеризуются однородностью состава, преобладанием биотитовых гранитов. Для второго и третьего типа интрузий, расположенных по правобережью р. Амур, характерно большое разнообразие интрузивных пород — граниты, гранодиориты, кварцевые монцониты, кварцевые монцонит-диориты, кварцевые габбро-монцониты. Наблюдаемый крайний пестрый вещественный состав сложных по строению интрузий правобережья р. Амур говорит, по всей видимости, об интенсивности процессов ассимиляции вмещающих вулканогенных пород среднего состава, о большой роли процессов гибридизма при формировании описанных интрузивных пород.

Надо полагать, что формирование интрузивных пород

в исследованном районе произошло в течение трех последовательных интрузивных фаз. По аналогии с другими районами Приамурья и Северного Сихотэ-Алиня все три фазы относятся к одному птицузиному комплексу.

Первая фаза представлена кварцевыми монцонитами, диорит-монцонитами, габбро-монцонитами и другими разностями; вторая — биотитовыми и биотитово-роговообманковыми гранитами. Третья фаза представлена мирамекитами, ксеноморфными

тами и гранодиоритами; а третья — лейкократовыми и микротегматитовыми гранитами.

Все описанные интрузии рвут и метаморфизуют породы сеноман—турона и осадочно-вулканогенной толщи сенон — дата. Тем самым устанавливается нижняя возрастная граница этих интрузий. Верхняя возрастная граница неясна, так как взаимоотношения между интрузиями и вышеупомянутыми эфузивными породами погде на территории листа, к сожалению, не были установлены. Надо думать, что внедрение интрузий, сопровождающихся заключительную фазу складчатости, происходило главным образом в раннепалеогеновое время (ларамийская фаза). Произведенные лабораторией ВСЕГЕИ анализы абсолютного возраста этих интрузий несколько противоречивы. Так, абсолютный возраст гибридных пород Гера-Тымской группы интрузий, а также город Утильского массива 95 млн. лет (середина мелового периода), тогда как абсолютный возраст для гранитов Тучкинского массива устанавливается в 65 млн. лет (рубеж мела и палеогена). Если в последнем случае возраст интрузий приемлем и согласуется с геологическими данными, то этого никак нельзя сказать про возраст пород Гера-Тымской группы интрузий, рвущих осадочно-вулканогенные образования сенон-датского возраста.

Утильский массив, расположенный в ядре Пурской антиклинали и руиной породы уломинской свиты, имеет, возможно, и более древний позднемеловой возраст. Более вероятен древний нижне-верхнемеловой возраст интрузии, вскрывающейся в районе оз. Устьль и прорывающейся породы нижнего мела.

Рудопроявлений, связанных непосредственно с интрузиями, не было обнаружено. Спектральный анализ небольшого числа образцов из гранитоидов указывает на повышенное содержание в них свинца, присутствие цинка и меди. В образцах гранитоидов Тучкинского и Утильского массивов установлены повышенные содержания свинца и молибдена. В одном из образцов гранит-аплита выявлено невысокое содержание олова, а в среднезернистых биотитовых гранитах — повышенное содержание цинка и фосфора.

ДАЙКОВЫЕ И ЖИЛЬНЫЕ ПОРОДЫ

В пределах рассматриваемой территории эти породы представлены гранит-порфирами, гранит-аплитами, пегматитами, гранодиорит-порфирами, диорит-порфирами, кварцевыми порфирами, андезитами, базальтами и кварцевыми жилами. Разновозрастность этих пород несомнена. Первые пять из них, генетически связанные с интрузиями, являются наиболее древними. Последующие три, связанные генетически с неогеновыми эфузиями, наиболее молодые. Кварцевые жилы в возрастном отношении занимают промежуточное положение. Они моложе пер-

вых, так как прорывают вмещающие, интрузивные и дайковые городы, но, видимо, древнее вторых.

Среди дайковых пород наиболее распространены гранит-порфиры, гранит-аплиты, пегматиты, гранодиорит-порфиры и диорит-порфиры. Обычно они приурочены к периферическим частям интрузивных массивов; реже в виде апофиз секут вмещающие породы верхнего мела. Их образование, очевидно, следует отнести к завершающей фазе формирования интрузивных комплексов.

Мощность даек, в основном круглоподалюющих, колеблется от 2 до 8—10 м. Простирание меняется от субширотного до северо-восточного.

Гранит-порфиры (УтPg) — светло-серые породы, иногда с желтоватым оттенком, состоящие из вкраплеников плагиоклаза, кварца, калиевого полевого шпата, биотита и основной массы с микротегматитовой, аллитриоморфозернистой или микророганулитовой структурами.

Вкраплениники плагиоклаза, олигоклаз-андезина имеют иллюзорную призматическую или табличчатую форму, размер их от 0,5—2 до 2,5—4,0 мм. Калиевый полевой шпат встречается в виде таблитчатых зерен размером от 2—4 до 5—6 мм с слабо выраженным перититовым вростками. Кварц наблюдается в виде округлых, реже изометрических зерен размером до 1—2 мм. Редкие мелкие листочки биотита передко находятся в виде включений в кристаллах плагиоклаза или калиевого полевого шпата. Аксессорные минералы представлены сфееном, цирконом, апатитом и рудным минералом. Вторичные изменения соподчиняются к пелитизации и серитизации полевых шпатов и хлоритизации темноцветных минералов.

Гранодиорит-порфиры (УдтPg) темно-серые или зеленовато-серые породы с порфировыми выделениями полевых шпатов и темноцветных размером до 3—5 мм. Основная масса мелкозернистая с аллоториоморфозернистой, микротойкилитовой или микротегматитовой структурой, реже — гипидиоморфозернистая, переходящая участками в монилитовую.

Порфировые выделения представлены плагиоклазом, роговой обманкой и пироксеном. Преобладает плагиоклаз — андезин № 36—38 с призматической или таблитчатой формой кристаллов размером до 1,5—2,5 мм. Реже встречаются резко идиоморфные кристаллы моноклинного пироксена размером до 1—1,5 мм; $c:Ng=30—56^\circ$, шестоватые кристаллы роговой обманки размером до 0,5—1,0 мм. Основная масса состоит из плагиоклаза калиевого полевого шпата, кварца, биотита, роговой обманки и пироксена. Из акессорных минералов встречается апатит, сфен, циркон, рутил. Вторичные минералы представлены хлоритом, эпиллом, пизитом, серпентитом, иногда карбонатом.

Гранит-аплиты (iPg) наблюдаются в виде прожилков в интрузивных породах мощностью 15—20 см; это светло-серые

или разбивато-серые породы, чаще мелкокристаллические, реже первично-сернистые с аллотриморфно-зернистой, микролег-матит-зеброй или микрогранулитовой структурой. В их сложении принимают участие кварц, калиевый полевой шпат и плагиоклаз. Барелка наблюдается мельчайшие листочки и чешуйки блочного, почти нацело замещенного хлоритом. Из аксессорных минералов присутствуют сфеин, ортит, рудный минерал, циркон.

Пегматиты наблюдаются в виде маломощных прожилков (3—5 см) и линз в Тучкинском и Утинском массивах. Это светло-серые породы крупно- и среднекристаллические с микро- или макрографической структурой. Состоит в основном из кварца и полевых шпатов с небольшим количеством биотита и турмалина.

В микролемматитах преобладает микропертит, слабо пелитизированный, проросший червеобразными вrostками кварца. Реже наблюдаются зерна кварца изометрической формы. Темно-засвеченные представители редкими листочками биотита, частично замещенного хлоритом. В очень небольшом количестве присутствуют зерна слегка сернистизированного плагиоклаза размером до 0,5 мм призматической формы. Из аксессорных минералов встречаются рудный, сфеин и единичные зерна граната.

Кварцевые диориты (ди Pg) — серые с зеленоватым оттенком породы с зеленоватым оттенком породы с зеленоватым оттенком мелкокристаллические породы с редкими порфировидными выделениями полевых шпатов, роговой обманки, пироксена и биотита. Основная масса имеет призматическую зернистую или микролейкитовую структуру.

Бирапленники плагиоклаза — андезина № 39—40 призматической или таблитчатой формы кристаллы размером от 1 до 2,5 мм, сильно пелитизированы. Единичные шестоватые кристаллы роговой обманки размером 2,5 мм часто хлоритизированы. Основная масса призматическую зернистую или микролейкитовую структуры состоит преимущественно из мелких призматических зерен плагиоклаза, роговой обманки и листочек биотита, интенсивно хлоритизированных. В промежутках между ними наблюдаются ксеноморфные зерна кварца. Среди аксессорных минералов развит апатит, циркон, сфеин, рудный.

Молодые дайковые образования, представленные кварцевыми порфирами, андезитами и базальтами встречаются значительно реже, по характеризуются большей разбросанностью по всей территории. Они прорывают почти все комплексы интрузивных, осадочных и осадочно-вулканогенных пород, за исключением базальтов и андезитов неогенового возраста. По всей глинистости они являются корнями выщелачиванием эфузивных покровов, излившихся, скорее всего, на границе первой и второй половины неогена. Среди них встречаются как куэтапающие, так и пологопадающие дайки. Мощность последних изменяется от 1—2 до 5—8 м.

Кварцевые порфиры — это светло-серые и розовато-серые породы с резко идиоморфными вкраплениками кварца, калиевого полевого шпата и плагиоклаза. Кристаллы кварца размером до 2—4 мм имеют более или менее изометричную форму, часто оплавлены, с заливчиками и бухточками. Плагиоклаз состава олигоклаза встречается в виде таблитчатых и изометрических кристаллов размером от 0,5 до 2 мм. Кристаллы калиевого полевого шпата — перитта размером до 1,5 мм имеют пецильные расплывчатые очертания и оплавленные грани. Обычно микропойкилитовая и сферолитовая структура основной массы никома кварца и калиевого полевого шпата. Из аксессорных минералов встречаются игольчатые кристаллы апатита и скопления рудного минерала.

Андрезиты — темно-серые с зеленоватым оттенком породы с порфировыми выделениями плагиоклаза. Преобладает андезин — лабрадор № 48—52 с призматической формой кристаллов размером до 1—2,5 мм. Редкие вкрапленники темно-засвеченных пироксенов и роговой обманки. Основная масса микролитового строения, слегка карбонатизированная.

Базальты — темно-серые, почти черные породы с порфировыми выделениями пироксена и оливинна. Плагиоклаз — лабрадор № 50—52 присутствует в виде призматических и лейстовидных кристаллов размером до 2,0 мм, слегка сернистизированных и хлоритизированных. В меньшем количестве встречаются зажатые между лейстами плагиоклаза округлые зерна оливина, почти нацело замещенные хлоритом и рыхлово-бурым иддигитом. Призматические кристаллы пироксена замещаются хлоритом и волокнистой роговой обманкой. Основная масса породы состоит из беспорядочно расположенных микролитов плагиоклаза, микроскопических зернышек пироксена и рудного минерала. В незначительных количествах содержится стекло. Из аксессорных минералов встречаены единичные зерна апатита.

Кварцевые жилы и прожилки мощностью от 2—10 см до 0,5 м имеют иногда рудную, сульфидную минерализацию. Они однаково секут все развитые на площасти листа осадочные, интрузивные и эфузивные породы. Кварц в них обычно молочно-белый, реже светло-серый, массивный. Иногда имеет друзовое строение.

КОНТАКТОВОИЗМЕНЕННЫЕ ПОРОДЫ

Среди этих пород наиболее распространены кварцевые, мусковито-биотитовые и биотитовые роговики, ороговикованные эфузивы, песчаники и алевролиты.

Кварцевые мусковито-биотитовые роговики — буровато-серые или темно-серые с буроватым оттенком породы;

мелкозернистые, очень плотные, часто с заметной полосчатостью или пятачистой текстурой. Обычно микролепидогранобластовая структура. Состоит из более или менее изометричных зерен кварца, полевых шпатов и больших количеств тонкошернистых блонита и мусковита. Из аксессорных присутствуют апатит, циркон, рудный минерал.

Биститовые роговики характеризуются преимущественным развитием стольстых минералов — красновато-бурых пластинок блонита, часто ориентированных субпараллельно.

Срого викованые эффиузивы и туфы — преимущественно серые или зеленовато-серые породы с кристаллической или бластопорфировой структурой. Порфировые выделения в зависимости от первичного состава эффиузивов представлены кварцем, плагиоклазом, темноцветными. Основная масса слагается кварцево-серилитовыми агрегатами или изменившимися микролитами птилоклааза, погруженными в разложившееся вулканическое стекло. Структура основной массы участками микролитовая, участками микрогранобластовая. По основной массе развиваются хлорит, карбонат, эпилот-цизитовые минералы, мелкочешуйчатые агрегаты зеленовато-бурового блонита. Нередко можно наблюдать окварцевание оспозной массы.

Срого викованые песчаники и алевролиты характеризуются частичной перекристаллизацией цемента с образованием микрогранобластовых структур, окварцеванием и развитием тонкошернистых агрегатов зеленовато-бурового контактового блонита.

ГИДРОТЕРМАЛЬНОИЗМЕНЕННЫЕ ПОРОДЫ

В пределах описываемого листа гидротермально-измененные породы не пользуются широким развитием. Отдельные их выходы площастью 4—6 км² вскрываются по левобережью рек Май и Кривая Кенка среди эффиузивов кислого и среднего состава. По внешнему виду это светло-серые или желтовато-белые плотные, сливные породы, сильно каолинизированные и интенсивно окрашенные гидроокислями железа в ржаво-буровый цвет. Для них характерна псевдофлюидальная, скорлуповатая и слоистая текстура.

Сложенны эти породы преимущественно кварцем (50—60%), серпентитом и мусковитом (30—40%). Кварц образует ксеноморфные зерна размером от 0,01 до 0,5 мм с зубчатыми или расплывчатыми очертаниями (гранобластовая структура). Серпентит и мусковит встречаются в виде пятачистых мелкочешуйчатых скоплений, реже образуют радиально-лучистые агрегаты. В породе рассеяны изометричные зерна лимонитизированного приита и мелкие зерна другого рудного минерала. Первичная структура гидротермальноизмененных пород сохранилась отдельными участками, в которых наблюдаются текстуры и структуры окружаю-

щих исходных эффиузивных пород. Обычно здесь можно наблюдать корродированные и сплавленные зерна кварца; сильно сернистизированные и каолинизированные таблитчатые кристаллы птилоклааза и кальцевого полевого шпата, а также участки сильно каолинизированной основной массы с отдельными неотчетливыми лейстовидными микролитами птилоклааза.

ТЕКТОНИКА

Описываемый район расположен в пределах нижнеамурской синклинальной зоны, входящей в состав области мезозойской складчатости Тахтосканского пояса.

В пределах района выделяются следующие структурные комплексы пород (ярусы), различные по возрасту, характеру и степени дислокированности (рис. 1):

- 1) юрский — нижнеловий структурный ярус;
- 2) альб-туронский структурный ярус;
- 3) сенон-датский структурный ярус;
- 4) неогеновый структурный ярус;
- 5) плиоцен-четвертичный структурный ярус.

Все эти структурные ярусы отделены друг от друга эпохами перерыва в осадконакоплении и поверхностями угловых неогласий.

Юрский — нижнеловий и верхнеловье структурные ярусы обособлены в нижний структурный этаж, представляющий собой складчатый фундамент, а образования третичной и четвертичной систем слагают верхний структурный этаж, представляющий собой уже эффиузивно-осадочный чехол.

НИЖНИЙ СТРУКТУРНЫЙ ЭТАЖ

Юрский — нижнеловий структурный ярус включает кремнисто-серилитовые породы киселевской свиты (J_{1ks}), турфогенито-сланцевые породы верхней юры — валанжина ($J_3 — C_{r1}$), песчаники валанжина ($C_{r1v?}$) и сланцы укутурской серии ($C_{r1}ik?$), развитые на небольшой площади в юго-западной части территории. Породы яруса смты в ряд антиклинальных и синклинальных складок восточно-северо-восточного простирания. Складки имеют линейный характер с углами падения на крыльях 60—80° до вертикальных. Крылья складок усложнены мелкой дополнительной складчатостью второго порядка, иногда типа веерообразных, чаще прямых и крутых. Как правило, породы этого яруса интенсивно рассланцованны, иногда разлинованы и обычно расклавожированы вкrest слоистости.

Альб-туронский структурный ярус охватывает породы перегнойной нижне-верхнечемеловой толщи ($C_{t1}al — C_{t1st}$), кальминской (C_{r2kl}) и удоминской (C_{t2id}) свит. Эти породы смты в широкие линейные складки широтного и северо-восточного

простирации с углами падения на крыльях от 50 до 60–80°. Рассланцованные и кливаж этих пород выражены значительно слабее.

Секондатский структурный ярус включает породы большинской ($Gr_2 bl$), тагаркинской ($Gr_2 tt$) и маломихайловской ($Gr_2 mm$) свит. Для пород этого яруса характерно широкое развитие прерывистых и удлиненных структур с пологими (20–40°) куполовидными, часто вытянутыми в одном направлении складками и удлиненными мульдами с нередко встречающимися углами падения на крыльях в 50–60 и 70–80°. Их гла в породах этого яруса, особенно в тонких туфах и аргиллитах, проявляются кливаж и рассланцованные.

ВЕРХНИЙ СТРУКТУРНЫЙ ЭТАЖ

Неогеновый структурный ярус сложен породами кизинской свиты (Nks). Базальты и андезито-базальты этой свиты ложатся на размытую поверхность интенсивно дислоцированного складчатого основания верхнего мезозоя, выполняя эрозионные впадины и, по-видимому, тектонические депрессии. Дислоцированы они очень слабо. Деформированность их выражается в легком короблении с образованием широких плавных складок; в отдельных местах устанавливается почти горизонтальное залегание их на более древних породах.

Плюцен-четвертичный структурный ярус включает преимущественно рыхлые озерные и аллювиальные отложения, выполняющие депрессии и долины рек.

Самая крупная положительная структура района — Пуэрская (хр. Пуэр) антиклиналь. Последняя вытянута в восточно-северо-восточном направлении. Наиболее высокое положение шарнира структуры наблюдается на левобережье р. Амур в районе высот 814 и 692, где в ядре обнажаются породы калмыцкой свиты верхнего мела. На левобережье р. Амур шарнир структуры заметно ундулирует.

Пуэрская антиклиналь имеет симметричное строение. В ядре ее вскрываются породы калмыцкой свиты ($Gr_2 kl$). Северное крыло сложено породами ульминской свиты ($Gr_2 ud$), перекрытых на погруженной эфузивно-осадочными отложениями большинской и татаркинской свит сепона. Южное крыло имеет аналогичное строение. Эта антиклинальная структура прорывается погруженными гранитоидами, массивы которых несколько смещены относительно ядра структуры в сторону северного крыла.

В левобережной части р. Амур, между озерами Ульиль и Думльское расположается менее крупная антиклинальная структура, получившая название Ульильской. Она ориентирована в восточно-северо-восточном направлении. В ядре ее выступают наиболее древние кремнисто-слитковые образования киселевской свиты. Северо-западное крыло структуры сложено туфо-

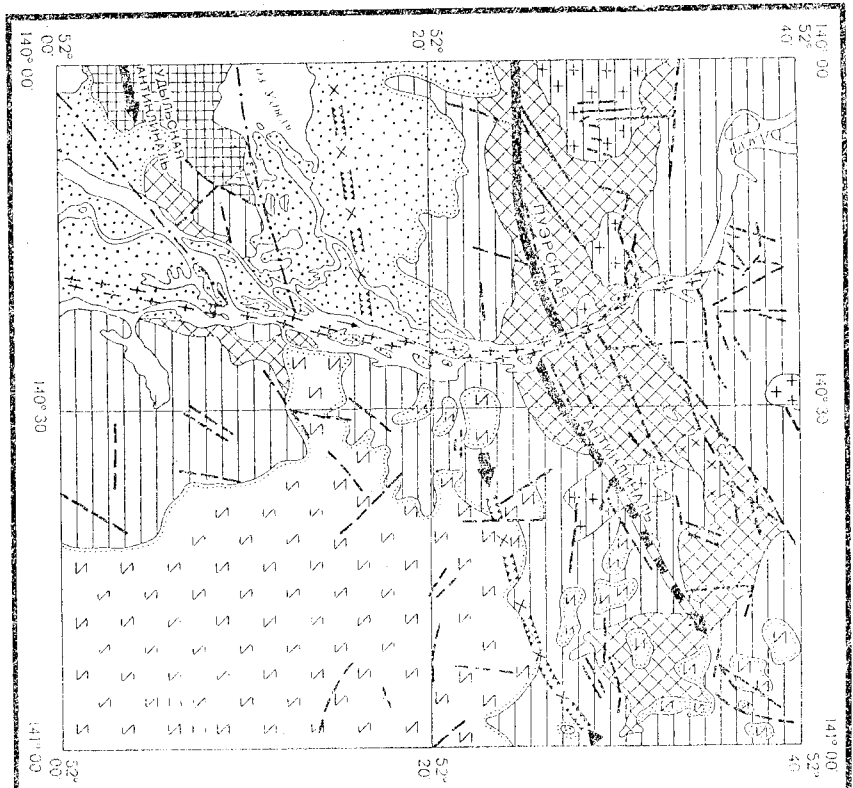


Рис. 1. Тектоническая схема (составлены Ф. И. Файн и М. А. Ахметьев)

Верхний структурный ярус: 1 — плюцен-четвертичный структурный ярус; 2 — неогеновый структурный ярус; 3 — эоцен-албийский структурный ярус; 4 — алб-турийский структурный ярус; 5 — верхнереконин-нижнечетвертичный ярус; 6 — раннегеологическое антиклинальное ядро; 7 — раннегеологическая погруженная компонента антиклиналий; 8 — разрывные нарушения; 9 — алмурский региональный разлом; 10 — установленные тектонические нарушения; 11 — параллелик, скрещивающие нарушения; 12 — граниты структурных этажей; 13 — направление погружающихся осей антиклинальных складок; 14 — оси антиклинальных складок; 15 — направление погружающихся осей синклинальных складок.

генто-сланцевыми породами верхней юры — валанжина, песчаниками залежками и сланцами укутской серии. Юго-восточное крыло Ульяновской антиклинали, а также часть северо-западного крыла структуры опущены по сбросам восточно-северо-восточного направления и перекрыты в образовавшихся на этих местах депрессиях аллювиально-сзерными отложениями значительной мощности.

Названные антиклинальные структуры первого порядка расположены на крыльях складок второго, третьего, местами более высоких порядков. Вблизи склоновых частей складчатости проявляется наиболее интенсивно. Осложняются они также и разрывами нарушенными северо-восточного и северо-западного направлений. Последние приурочены главным образом к склоновым частям структур.

В пределах левобережной части р. Амур вышеупомянутые антиклинальные структуры разделены широкой депрессией, выполненной эфузиво-осадочными породами сенона, в свою очередь перекрытыми па юге рыхлыми неогеновыми и четвертичными отложениями. Эта отрицательная структура образовалась, по-видимому, в результате блокового опускания по сбросам.

На правобережье р. Амур, к югу от Пурской антиклинальной структуры, на большой площади развиты покровы неогеновых андезито-базальтов и базальтов верхнего структурного этажа. Они заполняют обширную наложенную впадину в крупной правобережной синклинали, перекрывая с размывом и угловым несогласием породы разновозрастных свит верхнего мела (нижний структурный этаж), слагающих эту структуру. Залегание неогеновых базальтов здесь очень спокойное, близкое к горизонтальному. Лишь в центральной части структуры они испытали легкое коробление.

Диэлювктная тектоника на площади листа проявилась разрывами нарушенными типа сбросов (взбросов), имеющих преобладающие северо-восточные и северо-западные направления простирации.

Наиболее значительные по амплитуде и протяженности разрывные нарушения северо-восточного направления прослеживаются в Пурской антиклинали. Здесь они рассекают нижнеприметовые осадочные и эфузиво-осадочные породы, а также постверхнемеловые гранитоподы, но не затрагивают породы верхнего структурного этажа. Нарушения типа сбросов; ули галечника обычны крутые до вертикальных. Они контролируются выдержаными зонами антиклинали, широко развитыми зеркалами скольжения и интенсивной притяжкой пород в местах нарушений.

По долине р. Амур можно предполагать наличие крупного разлома и опериющих его нарушений северо-восточного и широтного простираний, к оставленным зонам которых приурочены

депрессии озер Улья и Лудинское. Эти разломы имеют,ловидному, большую глубину заложения, характеризуются длиной и унаследованностью развития, телескопированностью. Смоложение этих разломов происходит в постверхнемеловое время и связано, вероятно, с прорывением ларамийской складчатости. Очевидно, в последнюю имели служили в значительной степени подводящими каналами при падении базальтовых лав.

Неогеновые базальты и андезито-базальты разрывными нарушениями затронуты слабо. Это главным образом разломы, с которыми связаны блоковые подвижки. Возраст их, очевидно, позднеогеновый.

Известная нам история геологического развития рассматриваемой территории охватывает эпоху от юры до четвертичного периода.

В течение большей части мезозоя территория Нижнего Приамурья, в том числе и описываемый район, отличаюсь крайне высокой подвижностью, как и все типичные геосинклинали, испытывает интенсивное прогибание, компенсируемое осадконакоплением.

В нижнерыбинское время в наиболее глубоких участках морского бассейна происходило образование кремнистых пород и проявление подводного вулканизма. Создается типичная для начальной стадии развития геосинклинальных областей спилитово-кремнистая формация.

В верхнеюрюбинское время господствующее значение приобретают нормально-терригенные глинисто-алевритовые осадки с развитием среди них псамитовых пород и значительном участии вулканогенных (грубых туфов, туфолеспаников, пепловых туфов). Найдки в этой части отложений типичных стеногаллических форм (сауцеллы, аммониты) указывают на условия осадконакопления в морском бассейне нормальной солености.

В валанжинское и, возможно, готеривское время накапливаются преимущественно песчаниковые отложения при незначительном участии глинисто-алевритовых. Увеличение грубозернистости осадков указывает на обмеление морского бассейна.

В готерив-баррелевское время происходит накопление глинистых и алевритовых осадков в условиях открытого и сравнительно глубокого моря. Образование этих и предыдущих пород сопровождалось довольно значительной биоканической деятельностью, происходившей в подводных устоях. На это указывает присутствие эфузивного и приокластического материала в породах низкого мела, которые встречаются в виде прослоев эфузивов, обломков вулканических пород, вулканического стекла, многочисленных острогородных обломков различных минералов.

Складчатые движения, деформировавшие верхнегорские и нижнегорловые породы, проявились, по всей вероятности, в антикском и плиоценальском времени. С этим движением связаны перерывы в осадкопоклении и разрывы ранее отложенных город.

Интрузии, связанные с этим этапом складкообразования, в пределах рассматриваемого района не установлены. На смежных территориях с этой фазой складчатости связывают интрузии малых интрузивных тел гранит-порфиров, гранодиорит-порфиров, диоритов, приурочивая к ним золоторудные месторождения.

Накопление мощных глинистого - песчаных отложений альб-септомана и турина происходило уже в новых фациальных условиях. Преобладающее развитие алевритовых и песчаниковых пород с подчиненным количеством гравелисто-конгломератовых об разований, обилие растительных остатков указывают на накопление осадков в прибрежно-морских условиях. О последнем также говорит присутствие в них толстостворчатых пелешипид-иноптерамов.

На границе турина и конька, скорее в коньке, вновь проявляются складчатые движения, осушившие и смявшие в складки породы септомантуриона и осложненные в значительной степени складчатые образования нижнего структурного яруса (верхняя юра — нижний мел). Морской рельеф в течение верхней юры, неокома, альб-септомана и туриона, меняется в сэноне континентально-морского и континентально-морского условий.

В конце коньского времени, а возможно, даже в сантоне район вновь вовлекается в продолжительное погружение, особенно его Приамурская часть, которую следует рассматривать как остаточный геосинклинальный прогиб со своеобразными

фациями эфузивно-осадочных пород. Длительное протяжение земной поверхности в это время сопровождается наземным вулканизмом. Образование осадочно-вулканогенной толщи сенона и дата можно рассматривать как заключительный этап в геосинклинальном развитии рассматриваемой территории.

В раннем палеогене (палеоцене) проявилась завершающая заложенных и вновь созданных разломов происходит, по-видимому, и в начале четвертичного периода. Они фиксируются целой серией террас и сравнительно молодыми озерными депрессиями в речных системах. В настоящее время территория района испытывает общую нивелировку поверхности с активным проявлением процессов денудации, эрозии и аккумуляции.

В 1956 г. И. И. Вайнман и В. П. Кудряшов проводили аэромагнитную съемку м-ба 1 : 1 000 000 в южной части Хабаровского края, охватив и территорию листа. Ясно, что составленная в миллионном масштабе карта изолиний магнитного поля не может в полной мере соответствовать геологической карте м-ба 1 : 200 000, более детально откартированной. Однако данные, приведенные на этой карте (рис. 2), позволяют говорить о том, что наиболее повышенные магнитные аномалии связаны с покровами базальтов, зонами разрывных нарушений и гранитоидными породами интрузий. Наблюдающаяся же неравномерность в распределении магнитных аномалий среди сплошного поля базальтов (правобережье р. Амура), очевидно, указывает на резкое изменение мощностей базальтового покрова.

ГЕОМОРФОЛОГИЯ

1 — от 200; 2 — от 0 до +200; 3 — от 200—400; 4 — 400 и более

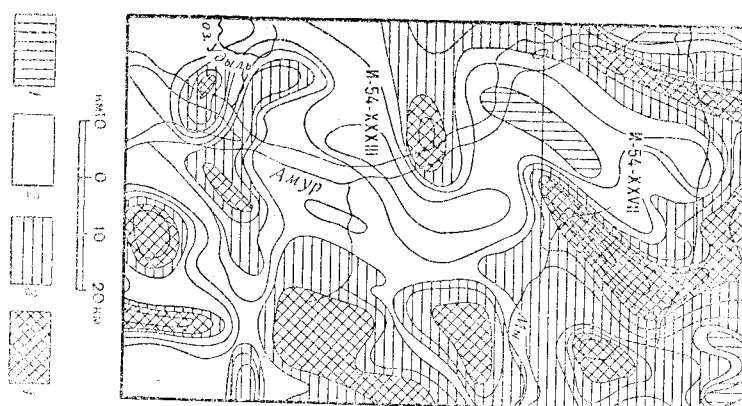


Рис. 2. Схема изолиний магнитного поля по материалам М. И. Вайнман и В. Г. Кудряшова (1 : 1 000 000)

3) в юго-западной части территории развита Удэль-Кизинская равнина.

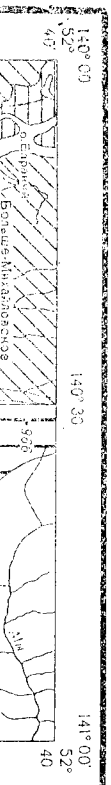


Рис. 3. Схема геоморфологии (составили Л. А. Кесслер и Л. Н. Самойлов)

Денудационно-флювиальный рельеф: 1 — средневосточные горы, 2 — участки речного долинного расчленения среднегорья, 3 — низкие горы, 4 — вулканическо-денудационный рельеф. Акумулятивный рельеф: 5 — озерно-речная равнина; 6 — террасы р. Амур

В пределах площасти распространения этих геоморфологических районов развиты следующие генетические типы рельефа: денудационно-флювиальный¹, структурно-денудационный² и акумулятивный.

Денудационно-флювиальный рельеф занимает почти всю северную и восточную части территории в пределах средневосточных и низких гор. Он состоит из ряда морфогенетических подтипов рельефа.

Так, на северо-западе распространяется среднегорный рельеф с узкими островерхими водораздельными гребнями и крутыми (25—45°) осыпными склонами. Глубина вреза речных долин достигает 500—600 м. Наибольшие абсолютные отметки гор (974, 966, 893, 860 м) тяготеют к сводовой части крупной антиклинальной структуры с заключенными в ней гранитоидными массивами, расположенной в северо-западной части листа.

Участки рельефа с крутыми склонами развиты также в юго-

восточной части листа, в пределах поля эфлювиальных пород с абсолютными высотами гор 689, 746 и 881 м (г. Белая), Однако здесь сохранился уплощенный облик широких (1—1,5 км) водораздельных гребней, покрытых чехлом элювиальных и делювиальных образований. Лишь местами среди выровненных платообразных поверхностей возвышаются конусовидные вершины, представляющие собой отпрепарированные пекки, сложенные более кислой лавой (горы Конус, Белая и др.).

Низкогорный грядово-стопочный рельеф с абсолютными отметками 300—500 м отличается более мягкими формами; в целом совпадает с крыльями положительных структур.

Структурно-денудационный рельеф представлен реликтами базальтовых плато в виде плоских или слабоволнистых широких водоразделов и отдельных плоских останцовых вершин.

К аккумулятивному типу рельефа относятся озерно-аллювиальная равнина Удильской депрессии, а также низкие террасы в долине р. Амур. Озерно-речная равнина представлена пологоволнистой поверхностью (80—140 м абсолютные высоты) с общим уклоном в 2—3° к р. Амур и оз. Удиль; ее пересекают редкие слабо брезанные долины малых рек. Формирование этой равнины в главных чертах завершилось в нижнечетвертичную эпоху.

¹ Под денудационно-флювиальным рельефом понимается горный рельеф, в формировании которого наряду с денудацией склонов определяющая роль принадлежит работе рустовых потоков, включающей следующие процессы: врезание (аллювианская сумма величин эрозии и аккумуляции), накопление аллювия и расширение речных долин. Именно по этой причине в названии генетического типа рельефа пами не употребляется менее конкретный термин «эрозия».

² Под структурно-денудационным рельефом понимается разновидность денудационного рельефа с унаследованной плоской поверхностью на вершинах межгорий.

В долине р. Амура выделяется пояса, I, II и III надпойменные террасы. Высота этих террас соответственно равна 3—3,5, 4—6, 8—12 и 15—18 м. Поверхность поясов плоская, открытая, с большим количеством ручьев, проток и озер; поверхности надпойменных террас ровные, реки слабоволнистые.

Переходя к краткому очерку истории развития наблюдаемого ныне рельефа, необходимо в первую очередь отметить, что горный рельеф в северной части листа возник еще в заключительный этап геотектонизма, на рубеже верхний член — палеоген.

Однако проявление новейших тектонических движений на границе плиоцен и нижнечетвертичной эпохи в виде широких съездах поднятий привело к существенному омоложению несколько стяженного к этому времени рельефа, прежде всего за счет его сильного флювиального расчленения.

Для рельефа юго-восточной части этот этап безусловно является наиболее интенсивным и решающим в формировании наблюдавшего ныне облика, так как первично-вулканический (неогеновый) рельеф видоизменился в процессе водового поднятия и стал ареной интенсивного воздействия флювиальных процессов.

На фоне поднятой отдельные локальные участки испытывали погружение. Так была заложена Ульяльская депрессия, периферические части которой, видимо, контролировались тектоническими нарушениями. Заполнение этой котловины началось с неогена и продолжилось в четвертичный период в условиях озерно-аллювиального режима. В настоящее время рельефом этого бассейна является современная акватория оз. Ульяль.

Дальнейшие этапы рельефообразования теснейшим образом связаны с формированием долины р. Амур. Наблюдаемая ныне долина р. Амур на данном участке течения, как считают большинство исследователей, возникла вследствие перехвата притока, первоначально протекавшего через район оз. Кизи, притоком притока притока Амур, Чаятынский хребет. Перехват совершился в среднечетвертичное время, так как русло Амура в пределах Ульяльской котловины врезано в озерные отложения плиоцен-нижнечетвертичного возраста.

Получив сток на север, воды Амура заполнили депрессию Орель-Челя, где возникло обширное озеро, подруженное со стороны залива Екатеринин. В дальнейшем начался спуск этого озера уже по новому современному участку долины р. Амур. В процессе врезания Амура в Чаятынский хребет осуществлялся спуск Ульяльского озера, бассейна с образованием комплекса озерно-речных и речных амурских террас.

ПОЛЕЗНЫЕ ИСКОПАЕМЫЕ

Среди металлических полезных ископаемых на территории листа установлено несколькорудопроявлений молибдита, а в шлихах из аллювия ключей и рек неизвестные, преимущественно

шестивечно злаковые, содержания киновари, золота и редкоземельных минералов. Все эти находки практического значения не имеет. Представляют известный интерес нерудные полезные ископаемые, особенно относящиеся к строительным материалам — глина, песок и строительный камень. Из горючих полезных ископаемых обнаружены небольшие углепроявления.

ГОРЮЧИЕ ПОЛЕЗНЫЕ ИСКОПАЕМЫЕ

Бурый уголь встречен в районе г. Мангры (1) и в 5 км юго-восточнее с. Больше-Михайловка в виде линзовидных прослоев мощностью 0,3—0,5 м в отложениях маломихайловской свиты. В районе г. Мангры углепроявления ранее разведывались Б. М. Штемпелем (1930ф) и С. А. Яковлевым (1932 г.). При качественном анализе этих углей были получены следующие данные: влага 5,19%, летучие 8,16%, кокс 20,50%, зола 66,12%.

Теплотворная способность 2,784 кал., сера (общее) 0,17%. Из-за большой зольности угли в настоящее время используются быть не могут.

Углепроявление в районе с. Больше-Михайловское представлено маломощными (15—20 см) прослоями углистых сланцев.

МЕТАЛЛИЧЕСКИЕ ПОЛЕЗНЫЕ ИСКОПАЕМЫЕ

Молибден. Рудопроявления молибдита находятся на участке левобережья р. Амур. Первое, наиболее крупное вскрытое в 4,0 км юго-западнее с. Половинка (Флутово) (30). Два других, более мелких, находятся в 3,5 км южнее с. Тальники (4) и в 4,5 км южнее гор. Бол. Паэр (20). Все они заливают в породах уломинской свиты, вблизи контактов с Тучкинским интрузивным массивом и приурочены к зонам тектонических нарушений. Здесь в роговиках и окварцированных породах встречаются многочисленные тонкие прожилки кварца и реже апатита мощностью 10—20 см. В зальбандовой части прожилков наблюдается мельчайшая гнейсовая вкрапленность рудных минералов. Размер гнейсовых скоплений не превышает 6—8 мм. Молибдит сопровождается пиритом и пирротином. Оруденение относится к жильному кварцево-молибденовому гидротермальному типу и, очевидно, генетически связано с постгермемеловыми интрузиями. Образцы проб были подвергнуты спектральному анализу, который показал в них содержание Cu 0,6% Ni 0,003%, Co 0,003%, Mo 0,003%. Рудопроявления практического значения не имеют.

В пределах района выявлено несколько зон притирзации. Большинство из них (19, 3, 6, 5) площадью до 1,0—2,5 км² приурочены к Гурерской антиклинальной структуре, к участку наибольшего развития тектонических нарушений. Отложения сено-

Ман — турона, большинской и татаркинской свит на этих участках раздроблены, окварцированы и эпилитизированы. Спектральные анализы образцов, взятых в зонах пиритизации, не дали положительных результатов. Несколько повышенное содержание серебра (до 0,1 %), титана (до 1 %) и свинца (до 0,1 %) в образцах дают в татаркинской свите из бассейна р. Кривая Кенка (33).

В результате проведенного шлихового опробования аллювия ключей и рек было выявлено несколько ореолов рассеяния минералов из группы редкоземельных — ильменит, рутил, ортит, фергюсонит, циркон бурый и зеленый (иаэлит), циртолит, монакит, ксенотим. Наиболее крупный из ореолов охватывает хр. Пузэр и уходит за пределы листа; оставшиеся приурочены к прибрежным участкам р. Амур и оз. Ульиль.

Россыпи с наибольшим содержанием полезных компонентов (от 10—15 г/м² до 36 г/м² от общего веса шлихов) приурочены к долинам рек Ута (16, 18) и Малая Силасу (13, 14, 21, 22, 23, 24).

Ортит является наиболее распространенным минералом. Содержание его в среднем 100—150 знаков на шлих. Угловатые зерна смоляно-черного цвета размером 0,1—0,5 мм.

Фергюсонит встречается в виде шестоватых удлиненных кристаллов коричневато-бурового цвета размером 0,3—0,4 мм. Монацит присутствует в количестве 50—100 знаков почти во всех шлихах, отмытых на участке левобережья р. Амур. Представлен он призматическими кристаллами медово-желтого цвета.

В шлихах обнаружены единичные зернышки золота, кассiterита, киновари, церуссита, халькопирита, малахита и флюорита.

Медь. Зерна халькопирита, слабо окатанные, неправильной формы, размером до 0,1—0,2 мм встречены в силихе, отмытом из русла р. Правая Гольцовая. Кроме того, в юго-восточной части листа, в трех шлихах обнаружены землистые массы малахита и азурита.

Свинец. Неправильные обломки молочно-белого церуссита размером до 0,1—0,2 мм, в количестве шести знаков обнаружены только в протолоках из штуфных проб, отобранных из кварцевых жил на междуручье Прямая и Кривая Кенка.

Мышьяк. Кристаллы и обломочки арсенопирита размером 0,5—1,0 мм светло-серого цвета с ясно выраженной штриховкой на граних обпарукаены в протолоках из штуфных проб, отобранных из кварцевых жил в бассейнах рек Ута и Малая Силасу.

Золото в количестве 10 знаков обнаружено в трех шлиховых пробах, отмытых из расчистки по р. Май и из русла ручья Пахта. Встречается в виде пластинок размером 0,8—1,0 мм и связано, вероятно, с кварцевыми жилами в зоне контакто-измененных пород.

Олово. Зерно кассiterита размером 0,03 мм встречено в одном шлихе, отмытом из русла р. Ута.

Вольфрам. Угловатые обломки шеелита размером 0,1—0,3 мм по два-три знака обнаружены в пяти шлихах в бассейнах рек Ута и Малая Силасу.

Ртуть. Киноварь в количестве 12 знаков обнаружена в девяти шлихах бассейнов рек Мы, Прямая и Кривая Кенка. Зерна киновари размером от 0,05 до 0,1 мм слабо окатаны, имеют неправильную форму. Коренные источники киновари, возможно, являются эффузивы основного и среднего состава.

Рассмотренный материал по поисковым работам, непоставочность которого очевидна, не позволяет с большой степенью решить вопрос о перспективности исследованной территории на металлические полезные ископаемые: слишком мало в нашем распоряжении данных. Благоприятная геологическая ситуация хр. Пузэр и приуроченность главным образом к нему находок редкоземельных минералов позволяют считать, в первом приближении, этот участок наиболее перспективным для поисков дальнейших более детальных поисковых работ.

НЕМЕТАЛЛИЧЕСКИЕ ПОЛЕЗНЫЕ ИСКОПАЕМЫЕ

Флюорит присутствует в восьми шлихах, отмытых в южной части района, в виде мелких обломков, реже полуокатанных зерен размером 0,2—0,3 мм.

СТРОИТЕЛЬНЫЕ МАТЕРИАЛЫ

Анделиты широко распространены в северной и юго-восточной частях района. Это зеленовато-серые породы, плотные, крепкие, с птичкой отдельностью. По данным «Желдоррометротранс» приводят следующие данные о качестве этих пород: объемный вес 2,7—2,8, удельный вес 2,9, временное сопротивление сжатию в естественном состоянии 1300—1800 кг/см², в водонасыщенном 1200—1400 кг/см².

Все образцы выдержали испытание на морозостойкость. Потехническим условиям анделиты могут быть использованы в качестве бутового камня, как щебень для бетона и как облицовочный материал. Запасы анделитов практически неограничены. Мощность пород вскрыши не более 2—6 м. Наиболее удобными для разработки местами являются скальные сорвы на правом берегу р. Амур, в 6—8 км южнее с. Большое-Михайловка (2).

Базальты в виде сплошных покровов занимают свыше четверти всей исследованной территории, преимущественно в юго-восточной ее части. Базальты темно-серые и коричневые, плотные или пузырчатые, иногда со столбчатой отдельностью, как правило, трещиноватые. По данным «Желдорпроекта», вре-

ченное сопротивление сжатию для базальтов составляет 600—1500 кг/см². По физико-механическим свойствам пригоды для всех видов строительства, запасы неограничены. Наиболее удобны для разработки местом является участок вблизи с. Коима, в береговых обрывах р. Амур (36).

Граниты и гранодиориты, хотя и занимают значительные площади преимущественно в северной части листа, но представляют большую ценность как строительный материал.

Обладая высокой механической прочностью, граниты могут быть использованы в дорожно-строительном деле и как облицовочный материал. Запасы не ограничены. Наиболее удобным местом для разработок является участок к северу от устья р. Большая Гучка, в береговых обрывах р. Амур (24).

Глины. Восточнее с. Богородское (32) расположена действующий карьер, обслуживающий кирпичный завод. Глина светло-коричневая, жирная, однородная, добывается с глубины 2,5 м. Залегает в виде линзы мощностью от 0,6 до 9 м. Породы вскрыши представлены супесями и песками. Месторождение не обводнено. Запасов глин хватит на 25 лет при производительности кирпичного завода 2 млн. кирпичей в год.

Глины оgneупорные. Вблизи пос. Иркутское известно непромышленное месторождение оgneупорных глин (37). Глины каолиновые, белые. Лабораторные испытания показали, что глины Иркутского месторождения обладают наибольшей пористостью. После обжига при 1320°С обладают высокой оgneупористостью. Качество изделий сильно снижается из-за примеси пирита. Запасы не разведаны.

Диатомовые глины обнаружены в 4 км южнее с. Богородское (35). Собравают горизонт, залегающий в основании II надпойменной террасы. Глины белые, слабослонистые, с раковистым изломом, сильно пористые, легкие, состоят из обломков створок диатомей. Запасы незначительны. Используются для побелки домов.

Пески с гравием и галькой распространены в террасах крупных рек. Могут быть использованы в качестве балласта при дорожном строительстве.

ПОДЗЕМНЫЕ ВОДЫ

По условиям циркуляции выделены воды порового, трещинного и пластово-трещинного типов. Воды порового типа разбиты в аллювиальных отложениях. Трещинные воды приурочены к верхней выветрелой зоне коренных пород. В осадочных породах и неогеновой толще базальты развиты пластово-трещинные волны. Самый распространенный тип — трещинные воды. В большинстве своем воды безнапорные. В базальтах при благоприятных условиях залегания они обладают напором.

Питание всех типов подземных вод в районе осуществляется главным образом за счет инфильтрации атмосферных осадков реже за счет подпитывания из вышележащих комплексов пород. Режим подземных вод в годовом цикле очень непостоянен. Запасы неравномерны и в основном сосредоточены в днищах крупных речных долин. Минерализация воды весьма слабая, не превышающая 70 мг/л, гидрокарбонатно-щелочноземельного состава.

Ниже приводится краткая характеристика водносности пород в зависимости от их литолого-геотретографических особенностей, возраста и условий циркуляции воды.

Водовмещающие отложения, слагающие поиму, I, II и III аккумулятивные и эрозионно-аккумулятивные террасы р. Амур, представлены разнообразными рыхлыми образованиями — глинами, иловатыми песками, суглинками, супесями, разнозернистыми песками, гравием, галькой, валунами. Глубина залегания уровня грунтовых вод на поиме, по данным шурфов, составляет 0,6—0,8 м. На I, II и III террасах, по данным колодцев, она колеблется от 0,3 до 6,0 м. В ряде случаев в связи с незначительной мощностью и распространением рыхлых отложений, а также хорошими условиями дренажа, аллювий оказывается практически безводным.

Производительность правильного заданного водопункта может составлять от 0,5 до 2, реже 5 л/сек. Наиболее обводненные участками являются отложения I надпойменной террасы.

В неогеновых базальтах и андезитах заключены трещинные воды. В условиях чередования плотных и разрушенных разностей базальтов, разделенных корой выветривания, не исключена возможность наличия пластово-трещинных всд, обладающих напором.

Дебиты нижележащих эрозионных источников изменяются от 0,01 до 2,0 л/сек. Дебиты скважин, заланных на смежном плане в районе г. Николаевска, глубиной от 103 до 165,65 м, составляют 4,1—11,9 л/сек при понижениях 30—32 м. Водообильность пород зависит от степени и характера трещиноватости, а также от характера рельефа. В днищах широких долин рек Пото, Кривая Кенка, Правая Тьма, Мы, дебит заданной скважины может быть 1—3 л/сек и обладать напором. На участках расщепленного рельефа хр. Сихотэ-Алинь и особенно резко выраженных островерхих вершин, а также вблизи берегового среза р. Амур у с. Коима производительность уменьшится до 0,5—0,7 л/сек.

К верхней трещиноватой зоне верхнемеловых эфузивов приурочен горизонт трещинных вод, глубина залегания которого зависит от элементов рельефа. В днищах долин она небольшая и часто соприкасается с поверхностью, увеличиваясь до 25—40 м и более на склонах. На водораздельных участках нижняя граница залегания трещинных вод уходит на значительную глубину.

баку. Гребни водоразделов и вершины гор полностью дrenированы (особенно в зимнее время).

По характеру водопроявлений, условиям залегания, а также степени и характеру трещиноватости этот комплекс слабо водообилиен. Максимальная возможная производительность скважин на обводненных участках может составить 1—2 л/сек.

Водомешающие породы уломинской свиты, представленные пересланьем аргиллитов, алевролитов, песчаников, тонких спелтовых губов и агломератовых лав андезита, содержат трещинные воды.

Глубина залегания грунтовых вод в нижних частях склонов до 20 м, а на склонах увеличивается от 20—30 до 60 м. В зонах тектонических нарушений глубина залегания уровня воды может быть значительно большая.

Возможный дебит заданной в длине скважины до 0,5 л/сек. Водораздельные гребни и отдельные островерхие высоты счи-таются практическими безводными.

Валанкинские и сеноман-туронские песчаники с полчиненными прослойями аргиллитов и алевролитов разбиты сетью многочисленных мелких пересекающихся трещин. К верхней трещинноватой зоне этих пород приурочены безнапорные трещинные воды. Глубина залегания уровня в долинах составляет 0—20 м, на водораздельных участках она увеличивается до 70—100 м.

Выходы источников приурочены к верховьям распадков. Дебиты их изменяются от 0,01 до 0,5, реже 2,0 л/сек. Наиболее обводненными будут породы в нижней части склонов. Дебит возможного водопункта до 1,0, реже 2,0 л/сек.

Туфогенно-сланцевые породы верхней юры — валанкина и чукотской серии имеют очень небольшое развитие в юго-западной части планеты. Они содержат трещинные грунтовые воды, малегающие, судя по элементам рельефа, видимо, на глубине до 20—30 м. Водопроявления наблюдались только по одному источнику с дебитом 0,3 л/сек. Породы относятся к очень слабоизобильным с предполагаемым дебитом одиночных скважин до 0,5 л/сек.

Кремнисто-спилитовые породы верхней юры также не имеет широкого развития. Водомешающие породы представлены трещиноватыми кремнистыми сланцами с пластами диабазов и простираями глинистых сланцев. Кремнисто-спилитовые породы верхней юры разбиты системой тонких трещин различного направления, часто выполненных глинистым материалом. В верхней зоне развит горизонт безнапорных трещинных вод, глубина залегания которого составляет до 20—30 м. Породы очень слабоизобильны. Возможный дебит скважины, заданной в нижней части склона на глубину до 20 м, может составить 0,5—0,7 л/сек.

В верхней трещиноватой зоне гранитов, гранодиоритов, монцитов и диоритов содержатся трещинные групповые воды.

Глубина залегания уровня воды в дотинах рек и пониженных участках достигает 2—5 м, на склонах увеличивается до 30—40 м и более. Гребни водоразделов и вершины гор практически безводны. Дебиты источников изменяются в пределах от 0,02 до 0,6 л/сек, причем отмечается, что источники с малым дебитом приурочены к краевой части массивов, с большим — к центральной. Дебит скважины, заданной в длине речной долины на глубину 50—70 до 100 м, может составить предположительно 1,0—3,0 л/сек.

Зоны разрывных нарушений во всех комплексах пород, как правило, сильно обводнены, причем подземные воды можно встретить на значительной глубине, превышающей 100 м. Воды могут обладать напором и отличаются постоянством режима. Минерализация воды с глубиной возрастает, и не исключена возможность встречи минеральных источников.

ЛИТЕРАТУРА

О ПУБЛИКАЦИЯХ

Бельтев Е. Б., Исакова А. И., Савченко А. М., Шалимов А. И. Новые данные по стратиграфии центральной части северного Сихотэ-Алиня. Докл. АН СССР, т. 110, № 5, 1956.

Верещагин В. Н. Основные вопросы стратиграфии мела Дальнего Востока. Советская геология, сб. 55, 1957.

Красильный Л. И. Новые данные по геологии и металлическости Нижнего Приамурья. «Сов. геология», 1940, № 7.

Красильный Л. И. Схема геоструктурного районирования Охотского моря и окаймляющих его складчатых сооружений. Докл. АН СССР, т. 107, № 1, 1956.

Купцев С. Л. Материалы по геоморфологии северного Сихотэ-Алиня. Докл. Гос. геогр. обр-ва, т. 68, вып. 6, 1936.

Липман Р. Х. Новые данные о возрасте кремнистых город на основании определения радиолюрии. Докл. АН СССР, т. XXXVI, № 2, 1952.

Михонич В. П. О стратиграфическом положении кремнистых сланцев Сихотэ-Алиня. Вестн. ДВ Фили. АН СССР, № 32/5. Дальизд, 1938.

Соколова Е. И. Геологические исследования правобережья низовьев р. Амура. «Геол. исслед. р. Амура. Итоги Н. Амурской экспед. 1934 г.», 1940.

Чемеков Ю. Ф. Материалы к стратиграфии четвертичных отложений среднего Сихотэ-Алиня. Мат-лы по четверт. геол. и геоморфол. Госгеотехиздат.

Чемеков Ю. Ф. История развития долины р. Амур. Тр. ВСЕГЕИ, мат-лы по геоморфологии, 1953.

Чемеков Ю. Ф. Опыт геоморфологического районирования южной части советского Дальнего Востока. Мат-лы по четверт. геол. и геоморфол. СССР, ВСЕГЕИ, вып. 1, 1956.

Чемеков Ю. Ф. Четвертичная система Хабаровского края и Амурской области. Тезисы докт. Всесоюз. Международ. совещ. по изуч. четверт. периода. М., 1957.

Ф о н д о в а я

Список материалов, использованных для составления карты
полезных ископаемых

Приложение 1

- Вайзман И. И., Кудряшов В. Т. Отчет о работах Дальневосточной аэромагнитной партии 8/55 в Хабаровском крае и на о. Сахалин. Фонды края «Востсибнефтегеофизика» Мин. нефт. пром. Иркутск, 1956.
- Абрамсон Б. Я., Богуславский И. С. и др. Геологическое строение и полезные ископаемые Озерного района Нижнего Приамурья. Фонды ДВГУ, 1956.
- Бельтев Е. Б., Савченко А. И., Усюнова Л. С. — Отчет о ревизионно-уточненных работах на листе М-54-1. Фонды ДВГУ, 1957.
- Гольц В. В. и Павленко М. В. — Геологическое строение правобережья р. Амур между с. Богословское и Воскресенское. Фонды ДВГУ, 1952.
- Жилин М. Ю. Отчет о геологописковых работах в Нижнем Приморье фонды ДВГУ, 1950.
- Иванов Ю. А., Калимбеков Б. А. и Рыбакова А. Д. Материалы к стратиграфии и литологии мезозойских отложений и петрографии интрузий мезозоя и кайнозоя Нижнего Приамурья. Фонды 4 ГУ, 1957.
- Красный Л. М. Геологические исследования в Удальском районе фонды ДВГУ, 1937.
- Красный Л. И. и Кривильский Л. Б. Геологические исследования в северо-западной части Нижне-Амурского района 1939—40 гг. Фонды ДВГУ, 1940.
- Красный Л. И. Геологическое строение и полезные ископаемые Нижнего Приамурья. Диссертация. Фонды ВСГЕИ, 1947.
- Кузнецова В. А. Отчет о геологических исследованиях в Богословском районе Нижнего Амура. Фонды 4 ГУ, 1936.
- Купцев С. А. Материалы по геоморфологии и четвертичным отложениям долины Нижнего течения р. Амур. Фонды ДВГУ, 1934.
- Мелиоранский В. А. Геологический очерк северного Сихотэ-Алиня. Фонды ДВГУ, 1934.
- Плахотник В. Г. при участии Дулькин Э. К. Стратиграфия кайнозойских вулканических образований Восточного склона Сихотэ-Алиня к северу от широты бухты Кухин. Фонды 4 ГУ, 1957.
- Савченко А. И. Мезозой северного Сихотэ-Алиня и Нижней Приамурья. Фонды ДВГУ, 1935.
- Смехов Е. М. Геологический очерк правобережья низовьев р. Амура фонды ДВГУ, 1935.
- Файн Я. И., Калимбеков Б. А., Шуршилова В. А. и др. Геология, подземные воды и полезные ископаемые бассейна нижнего течения р. Амур и побережья Татарского пролива. Татарского пролива
- 3 Файн Я. И., Калимбеков Б. А., Шуршилова В. А. и др. Геология, подземные воды и полезные ископаемые бассейна нижнего течения р. Амур и побережья Татарского пролива
- 4 Штемпель В. М. Отчет о работе Б. Минской геологоразведочной партии 1930 г. Фонды ДВГУ, г. Хабаровск № 293сс

№ п/п	Фамилия и инициалы автора	Название работы	Год составле- ния или издания	Местонахожде- ние материала, его фондовый номер и где издан
1	Кузнецов В. А.	Отчет о геологических исследованиях в Богословском районе Нижне-Амуре	1936	Фонды ДВГУ, г. Хабаровск
2	Поликанов В. Р. и Сукасян С. С.	Отчет о геологописковых работах, проводившихся в бассейнах среднего и нижнего течения р. Бики и Верховьев р. Бики и Левая Джагака в 1953—1955 гг.	1956	Фонды ДВГУ, г. Хабаровск
3	Файн Я. И., Калимбеков Б. А., Шуршилова В. А. и др.	Геология, подземные воды и полезные ископаемые бассейна нижнего течения р. Амур и побережья Татарского пролива	1955	Фонды 4 ГУ, г. Москва, № 293сс
4	Штемпель В. М.	Отчет о работе Б. Минской геологоразведочной партии 1930 г.	1930	Фонды ДВГУ, г. Хабаровск

Приложение 2

Список промышленных месторождений полезных ископаемых, показанных на листе N-54-XXXIII
карты полезных ископаемых

№ по карте	Индекс клетки на карте	Наименование месторождения и вид полезного ископаемого	Состояние эксплуатации	Тип месторождения (К-коренное, Р-россыпное)	№ использованного материала по списку
Строительные материалы					
2	I-2	Район с. Больше-Михайловское, аидаэзиты	Не эксплуатируется	K	3
29	-I-2	Левый берег р. Амур, граниты	„	K	3
36	III-2	Село Койма, базальты	„	K	3
32	II-2	Село Богородское, глины кирпичные	Эксплуатируется	K	3

Приложение 3

Список непромышленных месторождений полезных ископаемых, показанных на листе N-54-XXXIII
карты полезных ископаемых

№ по карте	Индекс клетки на карте	Наименование месторождения и вид полезного ископаемого	Состояние эксплуатации	Тип месторождения (К-коренное, Р-россыпное)	№ использованного материала по списку
Металлические ископаемые					
7—12	I-1, II-1	Безымянный ключ, редкоземельные минералы	Не эксплуатируется	P	3
15—18, 15—26	II-1	Река Ута, редкоземельные минералы	„	P	3
27, 28		Река Бол. Тучка, редкоземельные минералы	„	P	3
13, 14, 21—24	II-1	Река Мал. Силасу, редкоземельные минералы	„	P	3
31		Безымянный ключ, редкоземельные минералы	„	P	3
Неметаллические ископаемые					
37	IV-2	Пос. Иркутское, глины огнеупорные	„	K	3
35	III-2	Южнее с. Богородское, диатомовые глины	Эксплуатируются	K	3

**Список проявлений полезных ископаемых, показанных на листе N-54-XXXIII
карты полезных ископаемых**

№ на карте	Индекс клетки на карте	Название (местонахождение) проявления и вид полезного ископаемого	Характеристика проявления	№ использованного материала по списку
Горючие ископаемые				
1	I-1	Гора Мангр, бурый уголь	Коренное. Маломощные прослои в туфогенно-осадочных породах	4
Металлические ископаемые				
30	II-2	Западнее с. Половинка, молибден	Коренное. Зона тектонических нарушений	3
4	I-2	Южнее с. Тальники, молибден	То же	3
20	II-1	Южнее г. Бол. Паэр, молибден	"	3
38	I-1	Река Хилка, ортит	Шлиховой ореол	3
39	I-1; II-1; II-2	Левобережье р. Амур	"	3
40	I-2; II-2; III-2; III-3; IV-2	Правобережье р. Амур	"	3
41	IV-1	Водораздел р. Амур-оз. Удыль	"	3
3, 19	I-2; II-1	Хр. Пуэр., зоны пиритизации	Гидротермальноизмененные породы	3
5	I-3	Верховье р. Мы, зона пиритизации	"	3
6	I-3	Верховье р. Правая Гера, зона пиритизации	"	3
33, 34	II-3	Правый берег р. Кривая Кенжа, зона пиритизации	"	3